

T. C.  
HİTİT ÜNİVERSİTESİ  
FEN BİLİMLERİ ENSTİTÜSÜ

**Fe-%27Ni-%4Mn-%1Zn ALAŞIMINDA  
TERMAL ETKİ İLE OLUŞAN MARTENSİTENİN  
BAZI FİZİKSEL ÖZELLİKLERİ**

Serap GÜL

**YÜKSEK LİSANS TEZİ  
FİZİK ANABİLİM DALI**

DANIŞMAN  
Doç. Dr. Melek GÜLER

NİSAN 2019  
CORUM

**Fe-%27Ni-%4Mn-%1Zn ALAŞIMINDA  
TERMAL ETKİ İLE OLUŞAN MARTENSİTENİN  
BAZI FİZİKSEL ÖZELLİKLERİ**

**Serap GÜL**

**YÜKSEK LİSANS TEZİ  
FİZİK ANABİLİM DALI**

**DANIŞMAN  
Doç. Dr. Melek GÜLER**

**NİSAN 2019  
ÇORUM**

Serap GÜL tarafından hazırlanan “Fe-%27Ni-%4Mn-%1Zn Alaşımında Termal Etki ile Oluşan Martensitenin Bazı Fiziksel Özellikleri” adlı tez çalışması ~~16./07/2019~~  
tarihinde aşağıdaki jüri üyeleri tarafından oy birliği ~~/oy çokluğu~~ ile Hıtit Üniversitesi  
Fen Bilimleri Enstitüsü Fizik Anabilim Dalı'nda Yüksek Lisans olarak kabul edil-  
miştir.

Prof. Dr. Emre GÜLER

*Emre Güler*

Prof. Dr. Abdullah AYDIN

*Abdullah Aydin*

Doç.Dr. Melek GÜLER

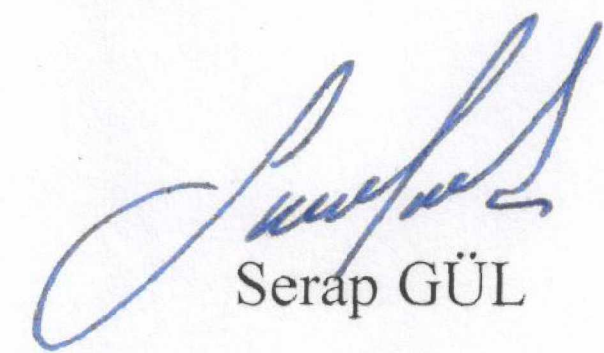
*Melek Güler*

Hıtit Üniversitesi Fen Bilimleri Enstitüsü Yönetim Kurulu'nun ~~17/07/2019~~  
~~2019/95~~.... sayılı kararı ile Serap GÜL'ün Fizik Anabilim Dalı'nda Yüksek  
Lisans derecesi alması onaylanmıştır.

*Cengiz Baykasoğlu*  
Doç. Dr. Cengiz BAYKASOĞLU  
Fen Bilimleri Enstitüsü Müdürü

## **TEZ BEYANI**

Tez içindeki bütün etik davranış ve akademik kurallar çerçevesinde elde edilerek sunduğum, ayrıca tez yazım kurallarına uygun olarak hazırlanan bu çalışmada bana ait olmayan her türlü ifade ve bilginin kaynağına eksiksiz atıf yapıldığını beyan ederim.



Serap GÜL

**Fe-%27Ni-%4Mn-%1Zn ALAŞIMINDA TERMAL ETKİ İLE OLUŞAN  
MARTENSİTENİN BAZI FİZİKSEL ÖZELLİKLERİ**

Serap GÜL

HİTİT ÜNİVERSİTESİ  
FEN BİLİMLERİ ENSTİTÜSÜ  
Nisan 2019

**ÖZET**

Bu çalışmada, Fe-%27 Ni-%4 Mn-%1 Zn alaşımında termal etki ile oluşturuluran faz dönüşümleri araştırılmıştır. Alaşımın üzerine uygulanan ısıl işlem etkisi ile alaşımda oluşan martensite faz dönüşümü ve ısıl işlem sonucu oluşan martensitik dönüşümün bazı fizikalik özellikleri, Taramalı elektron mikroskopu (SEM), Titreşimli örnek magnetometresi (VSM) teknikleri kullanılarak incelendi.

Taramalı elektron mikroskopu (SEM) incelemelerinden, Fe-%27 Ni-%4 Mn-%1 Zn alaşımında martensitik dönüşüm gözlandı. Fe-%27 Ni-%4 Mn-%1 Zn alaşımında termal etkiyle oluşturuluran martensite yapının “lath martensite” morfolojisine uygun yapı sergilediği görüldü. Alaşımın; Miknatışlanma-Uygulanan Alan (M-H) eğrisinden ferromagnetik bir davranış sergilediği görüldü. Numunenin doyum miknatışlama değeri yaklaşık  $21 \text{ emug}^{-1}$  bulundu. Ayrıca örneğin M-H eğrisinden elde edilen zorlayıcı alan değeri yaklaşık 36 Oe olarak elde edildi.

**Anahtar Kelimeler:** Fe- %27 Ni-%4 Mn- %1 Zn, Austenite, Martensite, SEM, VSM, Magnetik Alan, Curie Sıcaklığı.

**INVESTIGATION OF THE THERMAL EFFECT OF THERMAL EFFICIENCY IN Fe-%27 Ni-%4 Mn-%1 Zn ALLOY**

Serap GÜL

HITIT UNIVERSITY  
GRADUATE SCHOOL OF NATURAL AND APPLIED SCIENCES  
April 2019

**ABSTRACT**

In this study, phase transformations of Fe- 27% Ni- 4% Mn- 1% Zn alloy with thermal effect were investigated. Some physical properties of the martensitic transformation as a result of the heat transfer effect on the alloy and the martensitic phase transformation formed in the alloy with the effect of heat treatment on the alloy, were investigated by scanning electron microscope (SEM), Vibrating sample magnetometer (VSM) techniques.

From the scanning electron microscope (SEM) investigations, Fe-%27 Ni-%4 Mn-%1 Zn alloy was observed in the martensitic conversion. Fe-%27 Ni-%4 Mn-%1 Zn alloy was formed by the thermal effect of martensite structure Z lath martensite thermal morphology was observed to show the structure. Magnetization-Applied Area (M-H) curve showed a ferromagnetic behavior. The saturation magnetization value of the sample was about  $21 \text{ emug}^{-1}$ . In addition, for example the compelling field value obtained from the M-H curve was obtained as about 36 Oe

**Keywords:** Fe-%27 Ni-%4 Mn-%1 Zn alloy, austenite, martensite, SEM, VSM, Magnetic field, Curie temperature.

## TEŞEKKÜR

Bu çalışma süresince tüm bilgilerini benimle paylaşmaktan kaçınmayan, her türlü konuda desteğini benden esirgemeyen ve tezimde büyük emeği olan saygıdeğer Hoçalarımız Prof. Dr. Emre GÜLER ve Doç. Dr. Melek GÜLER'e sonsuz minnet ve teşekkürlerimi sunarım.

Bu çalışmada her türlü desteğini esirgemeyen Doç. Dr. Emine ALDIRMAZ'a teşekkürlerimi sunarım.

Sevgili eşim İlyas GÜL'e yardımlarından dolayı teşekkürlerimi sunarım.

Bugünlere gelmemde en önemli maddi ve manevi desteği sağlayan emeklerinin ve haklarının karşılığını hiçbir zaman ödeyemeyeceğim, çalışma süresince beni hep destekleyen, güvenen, maddi ve manevi desteğini esirgemeyen çok sevdiğim canım babam Yusuf ŞEN'e; canım annem Fadime ŞEN'e, tüm çalışmalarımda bana yol gösteren, yardımcı olan, maddi ve manevi desteğini esirgemeyen hayat arkadaşım, eşim İlyas GÜL'e, ve tüm aileme sonsuz teşekkürlerimi sunarım.

## İÇİNDEKİLER

ÖZET .....	iv
ABSTRACT .....	v
TEŞEKKÜR.....	vi
İÇİNDEKİLER .....	vii
ÇİZELGELER DİZİNİ.....	ix
ŞEKİLLER DİZİNİ.....	x
SİMGELER VE KISALTMALAR.....	xii
<b>1. GİRİŞ .....</b>	<b>1</b>
1.1. Litaratür Özeti .....	2
1.2. Çalışmanın Amacı .....	4
<b>2. MATERYAL VE YÖNTEM.....</b>	<b>6</b>
2.1. Kristal Yapı Kusurları.....	8
2.2. Metallerin Manyetik Özellikleri .....	11
2.2.1. Diyamanyetik Maddeler .....	11
2.2.2. Paramanyetik Maddeler .....	12
2.2.3. Ferromanyetik Maddeler .....	13
2.3. Faz Dönüşümleri .....	17
2.4. Austenite-Martensite Faz Dönüşümlerinin Kinetik Özellikleri .....	23
2.5. Austenite- Martensite Faz Dönüşümlerinin Kristolografik Özellikleri.....	25
2.6. Martensite Fazın Morfolojisi .....	28
<b>3. DENEYSEL MATERYAL VE YÖNTEM.....</b>	<b>31</b>
3.1. Yöntem .....	31
3.1.1. Taramalı Elektron Mikroskop (SEM) Hakkında Genel Bilgiler .....	31
3.1.2. Titreşimli örnek magnetometresi (VSM).....	35

4. ARAŞTIRMA SONUÇLARI VE TARTIŞMA .....	37
4.1. Numunelerin Hazırlanması .....	37
4.1.1. SEM İncelemeleri İçin Numunelerin Hazırlanması .....	37
4.1.2. VSM Ölçümleri İçin Numune Hazırlanması .....	37
4.2. Araştırma Bulguları.....	38
4.2.1. SEM Gözlemleri .....	38
4.2.2. VSM Ölçümleri.....	40
5. SONUÇLAR.....	42
KAYNAKLAR.....	44
ÖZGEÇMİŞ .....	52

## ÇİZELGELER DİZİNİ

**Çizelge**

**Sayfa**

Çizelge 2.1. Metallerde en çok rastlanan hacim, kübik ve yüzey merkezli yapılar...8

## ŞEKİLLER DİZİNİ

Şekil	Sayfa
Şekil 2.1. Fe elementinin alotropisi .....	6
Şekil 2.2. Kristal örgüde eksenler ve açılar.....	7
Şekil 2.3. Basit, Yüzey Merkezli, Hacim Merkezli Yapılar .....	8
Şekil 2.4. a) diyamanyetik madde b) manyetik moment.....	12
Şekil 2.5. Dış manyetik alanın a) yokluğunda, b) varlığında ve c) alan kaldırıldığında paramanyetik maddede manyetik momentlerin yönelimi .....	13
Şekil 2.6. Bir dış manyetik alanın yokluğunda ve varlığında bir ferromanyetik malzemede domain mıknatışlanması .....	14
Şekil 2.7. Ferromanyetik maddelerde Hysterisis eğrisi. a) sert, b) orta, c) yumuşak ferromanyetik maddede uygulanan dış manyetik alana göre madde içindeki mıknatışlama.....	15
Şekil 2.8. Ferromanyetik bir maddede mıknatışlanma ile mutlak sıcaklık arasındaki ilişki .....	16
Şekil 2.9. İzotermal dönüşüm için dönüşüm yüzdesinin zamanla değişimi (Yaşar, 2005).....	21
Şekil 2.10. Atermal dönüşüm için dönüşüm yüzdesinin zamanla değişimi (Yaşar, 2005).....	21
Şekil 2.11. Austenite- Martensite Fazlarının serbest enerjilerinin sıcaklığın fonksiyonu olarak değişimi (Kaufman, 1958).....	25
Şekil 2.12. Austenite-Martensite dönüşümü sonrası ortaya çıkan martensite kristallerinin yerleşim şeması .....	26
Şekil 3.1. Elektron-numune etkileşmesi sonucu oluşan ışınlar ve elektronlar.....	32
Şekil 3.2. Elektron-numune etkileşmesi. (Akay, 2013) .....	34
Şekil 3.3. VSM sisteminde manyetik algılama yapısı.....	35
Şekil 3.4. Quantum Design PPMS-9t titreşimli örnek magnetometresi (vibrating sample magnotemetre, VSM) .....	36
Şekil 4.1.Fe-27%Ni-4%Mn-1% Zn alaşımında gözlenen austenite yapı.....	39

Şekil 4.2. Fe- 27 % Ni-4% Mn-1% Zn alaşımında termal etki ile oluşan martensite yapıı.....	39
Şekil 4.3. Fe-27% Ni-4% Mn-1% ZnAlaşımından elde edilen martensite yapının mıknatıslanma-Uygulanan Alan (M-H) Eğrisi .....	40
Şekil 4.4. Fe-27% Ni-% 4 Mn-%1 Zn alaşımından elde edilen martensite yapıya ait (M-T) grafiği .....	41

## SİMGELER VE KISALTMALAR

### **Simgeler**

$\gamma$	Yüz merkezli kübik yapı
$\alpha$	Hacim merkezli tetragonal yapı
$\alpha'$	Hacim merkezli kübik yapı
$\epsilon$	Sıkı Paketlenmiş hekzagonal yapı
$T_0$	Austenite ve martensite fazlarının dengede bulunduğu sıcaklık
$M_s$	Austenite-martensite faz dönüşümünün başlama sıcaklığı
$M_f$	Austenite-martensite faz dönüşümünün bitiş sıcaklığı
$A_s$	Martensite-austenite faz dönüşümünün başlama sıcaklığı
$G_{\alpha-\gamma}$	Kimyasal serbest enerji değişimi
$G_\gamma$	Ana fazın kimyasal serbest enerjisi
$G_\alpha$	Ürün fazın kimyasal serbest enerjisi
E	Sistemin kinetik ve potansiyel enerjileri toplamı
T	Mutlak sıcaklık
H	Entalpi
S	Entropi
E	İç Enerji
°C	Santigrat Derece
dak	Dakika
$a_\gamma$	Austenite fazının örgü parametresi
$c_\epsilon$	Martensite fazının örgü parametresi
$a_\epsilon$	Martensite fazının örgü parametresi
$\delta_\gamma$	Austenite Fazın İzomer Kayması
$\delta_\epsilon$	Martensite Fazın İzomer Kayması
$B_{hf}$	Martensite Fazın İç Manyetik Alanı
$h,k,l$	Miller indisleri

## Kısaltmalar

fcc	Yüzey merkezli kübik yapı
bct	Hacim merkezli tetragonal yapı
bcc	Hacim merkezli kübik yapı
hcp	Sıkı paketlenmiş hekzagonal yapı
SEM	Taramalı Elektron Mikroskopu
VSM	Titreşimli Örnek Magnetometresi

## 1. GİRİŞ

Malzemeler muhtemelen çoğumuzun farkında olduğundan daha fazla bir şekilde uygarlığımızı etkilemiştir. Ulaşım, konut, giyim, iletişim ve gıda üretimi gibi günlük hayatımızın her alanı az ya da çok malzemelerin etkisi altındadır. Toplumların gelişmesi ve ilerlemesi için malzeme üretme ve kullanma kabiliyetleri çok önemlidir. İlk insanlar taş, tahta, kil ve deri gibi doğada kendiliğinden bulunan malzemeleri kullanıyorlardı. Zamanla doğada hazır bulunan bu malzemelere göre daha üstün özelliklere sahip bazı metaller kullanılarak yeni malzemeler üretecek teknikler keşfedildi. Bunun da ötesinde başka maddelerin eklenmesi ve ıslı işlem yoluyla malzeme özelliklerinin değiştirebileceği tespit edildi. Katı malzemeler; metaller, seramikler ve polimerler olmak üzere üç ana katagoriye ayrılır. Bununla birlikte iki ya da daha fazla malzemenin birlikte kullanılması sonucunda oluşturulan kompozit (karma) malzemeler de vardır. İleri teknoloji uygulamalarında kullanılan ve ileri malzemeler olarak adlandırılan diğer bir grup ise yarı iletkenler, biyo-malzemeler, akıllı-malzemeler ve nano mühendislik malzemeleridir.

Birçok alanda kullanılan metal ve alaşımının en önemli karakteristik özellikleri; kristal yapıya sahip olmaları, dayanımının yüksek olması, kolay şekillendirilebilir olmaları, sünek olmaları (kırılmaya uğramadan yüksek oranda şekil değiştirebilme kabiliyetleri) ve kırılmaya karşı yüksek dirence sahip olmalarıdır. Günümüzde metaller teknolojinin gelişmesi ile çok önemli yere sahip olmuş ve bunun sonucunda metaller üzerindeki çalışmalar daha çok hız kazanmıştır. Metal; yüksek parlaklığa sahip, iyi elektrik ve ısı iletimi olan, ergime ile döküme uygun hale getirilebilen maddedir (Durlu, 1991). Kristal yapıya sahip olmayan maddelere amorf denir (Durlu, 1991). Metaller; kristal yapıları, ısı iletkenlikleri, elektriksel iletkenlikleri gibi özelliklerinden dolayı metal olmayan maddelerden ayrırlılar (Güner, 2006). Metale belirli bir özellik kazandırmak için en az bir elementin kasıtlı olarak eklenmesi ile elde edilen metal karakterli maddeye alaşım denir (Savaşkan, 1999). Alaşım oluşturmanın birçok sebebi vardır. Bunlar; istenilen özelliğe göre malzemenin sertliğini ve dayanımını artırmak ya da malzemede sertleşmeyi kolaylaştırmak, çekirdek yapısına kadar sertleşmeyi sağlamak, korozyon olaylarına karşı dayanımı artırmak, mıknatışlanma özelliğini geliştirmek, elektrik direncinde değişiklik yapmak, aşınmaya karşı direnci

artırmak, ıslı işleme tabi tutularak genleşmeyi değiştirmek gibi birçok neden sayılabılır (Savaşkan, 1999). Metaller katı durumda iken kristal yapıdadırlar, metali oluşturan atomlar üç boyutlu olarak belli bir dizilime sahiptirler. Metal alaşımlarında en sık rastlanan kristal yapılar; hacim merkezli kübik yapı (bcc), yüzey merkezli kübik yapı (fcc), sıkı paket hegzagonal (hcp), hacim merkezli tetragonal (bct) yapılardır (Nishiyama, 1978).

### **1.1. Litaratür Özeti**

Austenite- Martensite faz dönüşümleri sonucunda alaşımının önemli fiziksel özelliklerinin yanı sıra mekanik özelliklerinde de büyük değişiklikler olduğu görülmüştür. Bu durum araştırmaların artmasına ve bu konu üzerinde ilginin büyümesine neden olmuştur. Özellikle Fe bazlı alaşımından Fe-Ni alaşımı, özel manyetik özelliklere sahip olması, yüksek elektrik dirence sahip olması, şekil hatırlatma özelliği göstermesi gibi özelliklerinin olması ve ucuz maliyetli olmasından dolayı teknolojik alanlarda çok tercih edilmektedir. Martensitik dönüşümler incelenirken ilk olarak çeliğe su verildiğinde sertleşmenin olduğu farkedilmiş ve günümüz teknolojisinde önemli bir yere sahip olduğu anlaşılmıştır. İlk olarak 1864 yılında Sorby tarafından martensitik faz dönüşümleri incelenmiştir. Sonrasında ise 1866 yılında Tschernoff ve 1878 yılında Martens tarafından demir bazlı alaşımında yapılan çalışmalarda martensitik faz dönüşümleri gözlenmiştir. Osmond 1895 yılında Martens'in yorumlarına yakın görüşler bildirmiştir. Yüksek sıcaklık fazına austenite ve bu geçiş olayına da martensitik dönüşüm adı verilmiştir (Aydoğdu, 1995).

Farklı kompozisyonlardaki alaşımının örneğin Fe-Ni-Mn gibi yapılan çalışmalarda kristalografik gözlemler sonucunda oluşan martensite kristallerinin  $(1\ 1\ 1)_\gamma$  (Wakasa ve Wayman, 1981),  $(2\ 2\ 5)_\gamma$  (Kajiwara, 1984),  $(2\ 5\ 9)_\gamma$  (Ocak, 1999) farklı habit düzlemleri ile K-S türü ve S-N türü dönme bağıntısı gösterdiklerini ortaya karışmışlardır (Kajiwara, 1984; Ghosh ve Raghavan, 1986; Ocak, 1999; Aktürk, 2001). Farklı kompozisyonlu sahip olan Fe-Ni-Mn alaşımında morfolojik bakımdan incelendiğinde martensite kristalleri f.c.c. yapıdan b.c.c. (b.c.t) yapıya dönüşümlerinde iğne ya da çubuk (lath) şekilli (Baydur, 1999; Schino ve ark., 2002; Takaki ve ark., 1999), kelebek (butterfly) şekilli (Takaki ve ark., 1999), plaka (plate) şekilli (Kajiwara, 1984;

Ghash ve ark., 1986; Sun ve ark., 1989; Kajiwara, 1992) ve ellipsoid şekilli martensite (Durlu, 2001) lenticular iken f.c.c. yapıdan h.c.p. yapıya dönüşümlerinde ise bant yapılı morfolojilerin olduğu gözlenmiştir (Ocak, 1999; Aktürk, 2001).

Fe-Ni-Mn ve Fe-Ni-Cr alaşımlarında faz dönüşümlerinde element etkisini sağlamak amacıyla yapılan araştırmalarda Jones ve Entwistle %1.5Cr yerine farklı bir element olan %1Mn kullanılmasının martensite oluşumunun özelliklerinde bir değişiklik göstermediğini belirtmişlerdir (Güler, 2005).

Dış fiziksel etkiler sonucunda gerçekleşen başka bir dönüşümörneğide Fe-%20Ni-%2Mn alaşımında soğutma etkisi ile elde edilen izotermal b.c.c. türü martensite dönüşüm oranının alaşına uygulanan 20 kOe'lik bir manyetik alanla 3 katına çıktığı ve benzer etki Fe-%20 Ni-%4 Mn oranında artırıldığında da görülmüştür (Nishiyama, 1978).

Georgiyeva ve arkadaşları tarafından belirli aralıklarla yapılan çalışmalar incelendiğinde dönüşüm ile ilgili değişik sonuçlara ulaşılmıştır. Bu çalışmaları 1969 yılından itibaren inceleyece olursak çalışmalar şunlardır:

Georgiyeva ve arkadaşları Fe-%24.3Ni-%5.2Mo alaşımı üzerinde yaptıkları çalışmada izotermal ve atermal martensite dönüşümünde izotermal dönüşüm başlama sıcaklığı -50 °C ile -150 °C aralığında iken atermal dönüşüm  $M_s$  sıcaklığı -185 °C bulunmaktadır. Dönüşüm sıcaklığından daha düşük sıcaklıklarda da martensite faza geçiş olağandır (Georgiyeva ve ark., 1969).

Fe-%24Ni-%3Mn alaşımı üzerinde izotermal martensitin kristalografik özelliği araştırılmış ve bunun sonucunda Fe-Ni-Mn alaşımının dönüşüm sıcaklığının Fe-Ni-Mo dönüşüm sıcaklığı ile aynı değere sahip olduğu görülmüştür (Georgiyeva ve ark., 1971).

Fe-Ni alaşımlarında Ni miktarı değişikçe austenite-martensite faz diyagramı sıcaklığın bir fonksiyonu olarak belirlenmiş ve Ni miktarı artması ile  $M_s$  sıcaklığının düş-

tüğü görülmüştür. Burada Ni miktarı %9.5 iken  $M_s$  525 °C, %33 iken  $M_s$  -223 °C olarak bulunmuştur (Kaufman ve Cohen, 1956).

1998 yılında J.H. Jun ve arkadaşları tarafından yapılan Fe–Mn–Co alaşımlarında mikroyapışal özellikler ve ıslı işlemlerin malzeme tarafından mekanik enerjiye titreşim artışı sonucu dönüştürülmesinin martensitik faz dönüşümüne bağlılığı incelenmiştir (Jun ve ark., 1998). 2003 yılında P. Marinelli ve arkadaşlarının yaptığı çalışmada Fe–Mn–Co alaşımlarında termal etkili martensitik alaşımalar incelenmiştir (Marinelli ve ark., 2003). Sarı ve arkadaşları Fe–Mn alaşımlarında Mo ve Co’ın martensitik dönüşüm ve manyetik özelliklerine etkisini araştırmışlardır (Sarı, 2009). Yapılan çalışmalarda, Fe–Mn bazlı alaşımında meydana gelen  $\gamma$ (f.c.c.) →  $\varepsilon$ (h.c.p.) faz dönüşümü ilave olunan elementin yüzde oranının dönüşümü nasıl etkilediği ve alaşım içinde oluşan kusurları incelemiştir (Inagaki, 1992; Martinez ve ark., 2005).

Çalışmalardan da görüldüğü gibi Fe–Ni–Mn alaşımının farklı kompozisyon ve farklı dış fiziksel etkiler altında iken kinetik, kristalografik ve morfolojik özellikler bakımından oldukça farklı sonuçlara ulaşılmıştır. Kakeshita ve arkadaşları atermal ve izotermal martensitikte manyetik bir alan Fe – Ni – Mn ve Fe – Ni – Cr alaşımlarında dönüşümler ve bu alaşımların izotermal bir martensitik sergilediğini buldu (Kakesita, 1993). Fe-bazlı bazı alaşımalar hem atermal hem de izotermal martensite formasyonu tipi ortaya çıkabilir (Kakesita, 1999). İzotermal martensite alaşımın soğuması esnasında olmuştur. Bu çalışmada izotermal martensite yapılarının gelişimi austenite numunelerde sıvı azotta bekletilerek elde edildi (Güler ve ark., 2004).

## **1.2. Çalışmanın Amacı**

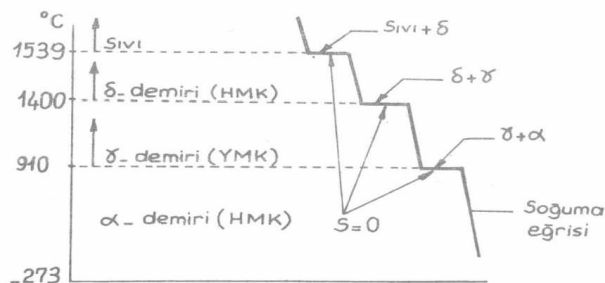
Metal ve metal alaşımaları günümüzde çok kullanılmaktadır. Günümüzdeki yaşam ortamları ve yaşam şartları yüksek kaliteye sahip malzemeler üretmeye ihtiyaç duymuştur. Teknolojik alanlardaki gelişmeler metal ve alaşımaların tüm özelliklerinin bilinmesini sağlamış ve hangi alanlarda kullanılabileceği hakkında fikirler edinilmişdir. Alaşımaların yapısal, mekanik, manyetik, kristalografik ve kinetik özelliklerini araştırılarak uygulama alanları belirlenmektedir. Faz dönüşümleri de maddelerin daha sağlam ve iyi bir kalitede olmasını sağlamaktadır. Martensitik faz dönüşümünün ger-

çekleşmesi ile malzemelerin özellikleri de ortaya çıkmaktadır. Bu şekilde istenilen özelliklere sahip malzemeler üretilmektedir.

Isı etkilerle alaşımarda gözlenen martensitik dönüşümler ve manyetik özelliklerdeki değişimlerin ortaya çıkarılması uygulamalar açısından önemlidir. Dolayısıyla bu çalışmadaki amacımız Fe-%27Ni-%4Mn-%1Zn alaşımında termal etkilerle oluşabilecek mikroyapı değişimleri ve manyetik özellikleri Taramalı Elektron Mikroskopu (SEM) ve Titreşimli Örnek Magnetometresi (VSM) yöntemleri ile incelenmiştir. Austenite- martensite faz dönüşümlerinin morfolojik özelliklerinin belirlenmesi için Taramalı elektron mikroskop (SEM) kullanılmıştır. Malzemenin manyetik karakteride Titreşimli Örnek Magnetometresi (VSM) ile belirlenmiştir.

## 2. MATERİYAL VE YÖNTEM

Demir, tüm dünya da üretilen metallerin ağırlıkça %95'ini oluştururken metallerin içinde en çok kullanılma özelliğine sahiptir. Düşük fiyatı ve yüksek dayanım özelliklerinden dolayı demir, otomotiv sanayi, gemi gövdesi yapımı ve binaların yapısal bileşeni olarak kullanımında vazgeçilmez bir malzeme kılardır (Anonim, 2018). Alaşım oluşturmada, diğer metallerin yanı sıra demirin ana element olduğu, demir bazlı alaşım teknolojide yaygın olarak kullanılmaktadır. Demir bazlı alaşımında faz dönüşümlerini inceleyebilmek için; endüstriyel açıdan büyük önem taşıyan demir (Fe) elementinin allotropisini incelemek yerinde olacaktır (Güler, 2006).

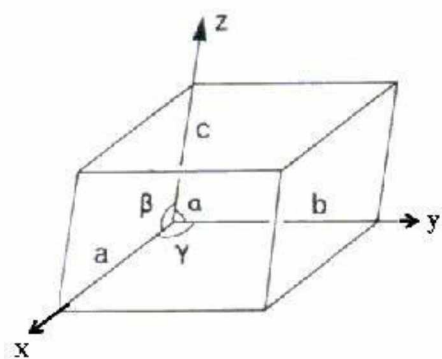


**Şekil 2.1.** Fe elementinin allotropisi

Demir elementi farklı sıcaklık değerlerinde farklı kristal yapılar sergileyebilen allotropik bir metaldir. Saf demir ısıtılmaya başladığında  $\alpha$ ,  $\beta$ ,  $\gamma$ ,  $\delta$  faz dönüşümü gerçekleşir (Savaşkan, 1977). Oda sıcaklığında saf demir hacim merkezli kübik yapı (bcc)'ya ve manyetiklik özelliğine sahip olup  $\alpha$ -Fe olarak adlandırılır. Demir 768°C sıcaklıkta mıknatıslık özelliğini kaybeder ve bu sıcaklığın üzerinde  $\beta$ -Fe olarak adlandırılır. Manyetiklik sınırını kaybettiği bu sınır sıcaklığına Curie sıcaklığı denir.  $\alpha$ -Fe ile  $\beta$ -Fe'in farkı sadece mıknatıslık özelliğini kaybetmesidir. Çünkü  $\alpha$ -Fe ferromanyetik iken  $\beta$ -Fe paramanyetiktir. 768°C ve 910°C' lik sıcaklıklar aralığında kristal yapı yine hacim merkezli kübik yapı (bcc)'dır. 910°C ve 1400°C aralığında demir, yüzey merkezli kübik yapı (fcc)'ya sahiptir ve  $\gamma$ -Fe olarak adlandırılır. Demir 1400°C ile 1535°C sıcaklık arasında yine hacim merkezli kübik yapıya (bcc) sahiptir ve  $\delta$ -Fe olarak adlandırılır. 1535°C sıcaklığının üstünde artık eriyerek sıvı duruma geçer (Nishiyama, 1978). Saf demir başka metallerle alaşım haline getirildiğinde kristal

yapı dönüşümleri meydana gelir. Alaşımlamada demirin allotropisindeki dönüşüm sıcaklığı alaşımın cinsine göre değişiklik gösterir. Alaşım elementi demirin allotropisindeki dönüşüm sıcaklığını daha yüksek sıcaklıklara çıkarabilir veya daha düşük sıcaklıklara düşürebilir. Alaşımındaki yabancı atomların miktarı ne kadar değişirse buna bağlı olarak etkileri de o kadar değişir (Topbaş, 1993). Örneklemeye yapılrsa; C elementi ucuz bir element olmasına rağmen demirin en önemli alaşım elementidir. Çok az oranda demir elementine katılan C elementi demirin özelliklerinde büyük değişiklik yapmasına sebep olur.

İncelemiş olduğumuz Fe bazlı Fe-%27 Ni-%4 Mn-%1 Zn alaşımının ve diğer Fe bazlı alaşımarda bulunan örgü çeşitleri ve kristal yapı kusurları ile ilgili genel bilgilerden de bahsedilmesi gerekmektedir. Malzemeler kristal yapılı malzemeler ve kristal yapılı olmayan malzemeler olmak üzere ikiye ayrılır. Kristal yapıya sahip malzemelerde atomlar üç boyutlu olarak basit geometrik şekillere sahip dizilimden oluşmuş kafes yapıya sahiptir. Sir Laurence Bragg ilk kez kaya tuzu kristalinin yapısını incelemiş ve kristallerin atomik yapıları hakkında birçok önemli bilgilere ulaşmıştır. Araştırmalar sonucunda kristali oluşturan en küçük yapının “Birim Hücre” olarak adlandırıldığı ve bunun uzayda yayılarak ne çeşit bir kristali oluşturduğunu anlayabilmişlerdir (Durlu, 1989). Birim hücre bir üç boyutlu eksen üzerinde  $a$ ,  $b$ ,  $c$  atom uzaklıklarına sahip ve bu üç boyutlu  $x$ ,  $y$  ve  $z$  eksenleri arasındaki açılar  $\alpha$ ,  $\beta$ ,  $\gamma$  açıları olarak belirlenir. Kristal örgüsü de bu basit geometrik şekillere sahip olup atomik boyutlarda yan yana gelerek oluşur (Küçük, 2004).

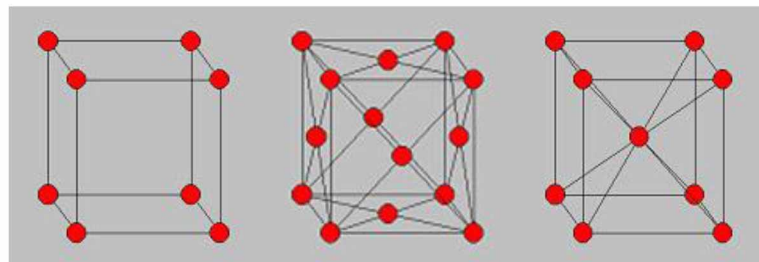


**Şekil 2.2.** Kristal örgüde eksenler ve açılar

Metallerde en sık rastlanan yapılar olan (Savaşkan, 1999); hacim merkezli kübik yapı (bcc), yüzey merkezli kübik yapı (fcc) ve sıkı paket hekzagonal (hcp) yapının kristalografik özellikleri çizelge 2.1'de verilmiştir.

**Çizelge 2.1.** Metallerde en çok rastlanan hacim, kübik ve yüzey merkezli yapılar

Sistemler	Atom Uzaklıkları	Eksenler Arasındaki Açılar
Kübik Sistem	$a = b = c$	$\alpha = \beta = \gamma = 90^\circ$
Tetragonal Sistem	$a = b \neq c$	$\alpha = \beta = \gamma = 90^\circ$
Hekzagonal Sistem	$a = b \neq c$	$\alpha = \beta = 90^\circ, \gamma = 120^\circ$



**Şekil 2.3.** Basit, Yüzey Merkezli, Hacim Merkezli Yapılar

## 2.1. Kristal Yapı Kusurları

İki atom arasındaki denge durumu; eğer bağ enerjisi en küçük değere sahip ise kusursuz bir yapıdadır. Kristallerin yapısında meydana gelen bozulma ve gerilmeler kristalin enerjisinin değişmesine yani artmasına neden olur. Kusurları her zaman olumsuz anlamda değerlendirmemek gereklidir. Tam tersine belirli kusurlar istenilerek

oluşturulur ve böylece malzemenin özellikleri yükseltilmeye çalışılır. Malzemeler işleme tabi tutulduğunda özellikle kusurların oluşması istenir (Nishiyama, 1978).

Katının kristal yapısında bazı sebeplerden dolayı meydana gelen değişim katının fiziksel özelliklerini etkiler. Katılarda meydana gelen kusurlar incelenirken; kusurların çeşitleri, meydana geliş sebepleri ve bunların neden olduğu sonuçlar incelenmelidir. Atomların yeniden düzenlenmesini sağlayan faz dönüşümleri sırasında ana fazdaki kusurlar önemlidir. Kusurlar; katılışma sürecinde, ısı, dış zor ve basınç gibi etkilerle meydana gelebilirler. Kristal kusurlar, bozulmaya uğramış bölgelerin sıfır, bir, iki veya üç boyutlu olmasına göre; noktasal, çizgisel, yüzeysel ve hacimsel kusurlar olarak sınıflandırılır (Güner, 2006).

Bu kusurları inceleyeceğimizde, noktasal kusurlar; kristal yapı içerisindeki bir atomun olması gereği yerden daha farklı bir yerde olması ya da olmaması gereken bir yeri doldurması ile oluşan basit örgü düzensizliğine sahip kusurlardır. Noktasal kusurları da kendi arasında gruplandırabiliriz. Bunlar; boş nokta kusurları (boş kafes kusurları), arayer kusuru, yeralan atom kusuru, frenkel kusuru ve schottky kusuru olarak sıralanabilir (Savaşkan, 1999). Atomun olması gereken yerde olmamasından kaynaklanan kusura boş nokta kusuru denir. Atomik yarıçapı  $10^{-8}$  cm' den küçük olan H, B, N, C, O atomlarının ana metaliin atomları arasındaki aralara girmesiyle oluşan kusurda arayer kusuru olarak adlandırılır. Yeralan atom kusuru ise çözünen metaliin atomları çözücü metaliin kristal atomlarının bazılarının yerini alması ile oluşur. Frenkel kusuru; kristal örgü içinde bulunan bir atomun yerinden ayrılarak örgü arasında bir arayere, atomların bulunmaması gereken bir yere geçmesiyle oluşan kusurdur. Kristal yapı içerisinde eşit elektriksel yükün korunması için örgü yapıdan bir anyon ve bir katyonun ayrılması sonucunda oluşan kusurada schottky kusuru denir.

Metal ve alaşımının mekanik özelliklerini belirlemeye çizgisel yapı kusurları (dislokasyonlar) çok önemli bir faktördür. Dislokasyon; bir kristal örgüdeki çizgisel kusurlardır (Durlu, 1991). Dislokasyon, kristalin mükemmel iki bölüm arasındaki yapı düzeni bozulmuş bölgedir (Savaşkan, 1999). Dislokasyonlar vida ve kenar dislokasyonlar olmak üzere ikiye ayrılır. Vida dislokasyonu, örgü düzlemi kendisine dik olan

dislokasyon çizgisi etrafında spiral şeklini alır. Kristalin eğildiği her doğrultuda, bir atom aralıklı eşitlikte hareket ettiği eksen etrafında bir tur dönlerek kristalografik düzlem takip edilirse, başlangıç noktasından bir atom aralığı aşağıda bitebilir (Durlu, 1991). Kenar dislokasyonu, mükemmel kristale yarılmış atom düzlem eklenmesi ile oluşturulabilir ya da bir veya iki sıra atom düzleminin çıkarılması ilede oluşabilir. Burgers çevrimi kullanılarak kenar dislokasyonunun oluşturduğu kusurun büyüklüğü ve yönü hesaplanır. Kusursuz bölgede yapılan bir çevrim sırasında paralel yönlerde, eşit aralıklarla ilerlenince çevrim kapanır. Eğer çember kusur içeriyorsa bu çevrimin uçları kapanmaz ve atomların arasındaki uzaklık kadar fazlalık kalır. Bu uzaklığa Burgers vektörü adı verilir (Onaran, 2006). Burgers vektörü kenar dislokasyonuna diktir (Savaşkan, 1999).

Aynı örgü yapısına sahip fakat farklı doğrultularda yönlenmiş değişik bölgelere ayıran yüzeylerden oluşan kusurlar ise yüzeysel kusurlar olarak adlandırılır. Yüzeysel kusurlara verilebilecek en belirgin örnekler ise; tane sınırları, ikiz sınırları ve yıgilım hataları verilebilir. Yüzey atomlarının enerjisi daha yüksek fakat içindeki atomlara göre daha zayıf bağlıdır (Güner, 2006). Kristal yapının düzlemleri belirli koşullar altında düz ayna simetrisi gösterebilir. Bu duruma ikiz oluşumu denir ve simetri düzlemlerine de ikiz düzlemleri veya ikiz sınırları denir. Bu bölgelerin enerjisi çok düşüktür. İkizler genellikle kristal taneciklerin içinde oluşur. Alaşımın plastik deformasyona uğraması ya da uygulanan ısıl işlem sırasında ikizlenme meydana gelir (Bulun, 2010). İkizlenmelerin oluşumu; katılışma sırasında yapısal veya mutlak bir aşırı soğumayı gerektirir (Nishiyama, 1978). Kristal yüzeyde dışa doğru kuvvet mevcut değildir, dolayısıyla yüzeydeki atomlar farklı denge uzaklığına sahip olacaklardır. Yani kristal yüzeyi daha yüksek bir enerji seviyesindedir (Durlu, 1991). Eriyikten katılışma veya yeniden kristalleşme sırasında genellikle çok sayıda kristal tanesi aynı zamanda büyür. Bunlardan komşu olanların örgü düzlemleri arasında çoğunlukla büyük açılar ve süreksızlık görülür. Böylece tane sınırları ortaya çıkar. Sıkı düzenli örgü düzlemlerinin üst üste diziliş sırasının bozulmasından kaynaklanan iki boyutlu kusura da yıgilım kusuru denir (Bargel ve ark., 1993).

Hacimsel kusurlar kristal örgü kusurlarına girmemekle beraber malzemenin oluşumu sırasında ya da malzemenin döküm, dövme, haddeleme gibi şekillendirilmesi sira-

sında oluşur. Metallerin üretimi sırasında oluşan oksit, nitrür, sülfür gibi kalıntılar hacimsel kusurlara örnek olarak verilebilir (Güner, 2006).

## **2.2. Metallerin Manyetik Özellikleri**

Maddelerin manyetik özellikleri atomu oluşturan elektronların çekirdek etrafında ve kendi ekseni etrafındaki hareketleri sonucunda meydana gelir. Elektronların hem kendi etrafında hem de çekirdek etrafında dönmesi; yörunge manyetik dipol momenti ve spin manyetik dipol momenti kavramlarının ortaya çıkmasına neden olur. Yörunge ve spin manyetik momentlerin vektörel toplamlarına toplam manyetik moment denir. Elektronların atomlarındaki yörungesel ve spin hareketleri bir akımın ortaya çıkmasına dolayısıyla bir dipol moment oluşmasına sebep olur. Maddede oluşan net dipol momentin büyüklüğü onun manyetikliğini belirler.

Malzemeler manyetik özelliklerine göre üç gruba ayrılır. Bunlar; diyamanyetik, paramanyetik ve ferromanyetik maddelerdir (Güler, 2005).

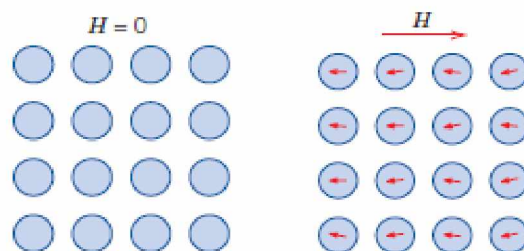
### **2.2.1. Diyamanyetik Maddeler**

Kuvvetli bir dış manyetik alan uygulanması, elektron akımlarını etkileyerek iç alanların kısmen yönelmesine ve iki ayrı manyetik davranışın ortaya çıkmasına neden olur. Bu durumda iç alan dış alana karşı etki ederek bunu azda olsa zayıflatır. Bu durum “diyamanyetiklik” olarak adlandırılır (Güner, 2006). Diyamanyetik maddeler dış manyetik alanın yönü ne olursa olsun alanla zıt yönlü mıknatışlanma edinirler ve alanın daha zayıf olduğu yöne doğru kaçarlar (Emen, 2005). Manyetik bir alan uygulandığında diyamanyetik malzemelerde çok küçük bir elektron hareketlenmesi oluşur. Manyetik moment diyamanyetik malzemelerde manyetik alana ters yönde oluşur (Günay, 2000). Diyamanyetizma genellikle tüm yörüngeleri dolu olan maddelerde görebiliriz. Örneğin soygazlarda bunu görebiliriz. Fakat diğer manyetik özellikler yalnızca atomun dolmamış elektron yörüngeleri varsa ortaya çıkar. Diyamanyetik bir malzemeyi alan dışına iten kuvvetin büyüklüğü çok küçük olduğundan böyle malzemelerin manyetik alanla etkileşmelerini gözlemlemek oldukça zordur. Yapılan araştırmalar göstermektedir ki maddelerin diyamanyetik özelliğinin sıcaklığına bağlı olma-

dığı ve manyetik momentin genellikle alanla orantılı olduğunu göstermiştir (Emen, 2005). Bakır, gümüş ve altın gibi elementler ve alaşımları diyamanyetik özellik gösterirler. Süper iletkenlerin mükemmel diyamanyetik özellik gösterdiklerini biliyoruz. Sonuçta süper iletken içindeki manyetik alanı sıfır olacak şekilde uygulanan alanı dışlar. Bu olaya Meissner olayı denir (Günay, 2000).

Atomların hepsi diyamanyetik özellikler gösterir (Halliday ve ark., 1923). Fakat kendine özgü bir manyetik dipol momentine sahip atomda, atomun bu özellikleri daha kuvvetli paramanyetik veya ferromanyetik etkiler nedeniyle diyamanyetik özellikleri perdelenir (Nishiyama, 1978).

Şekil 2.4.'de diyamanyetik bir malzemeye bir manyetik alan uygulandığında çok küçük bir elektron hareketlenmesi oluşur. Şekil 2.4 b'de görüldüğü gibi manyetik moment manyetik alana ters yönde oluşur. Sonuçta diyamanyetik malzemelerde kalıcı bir mıknatışlanma olmaz.

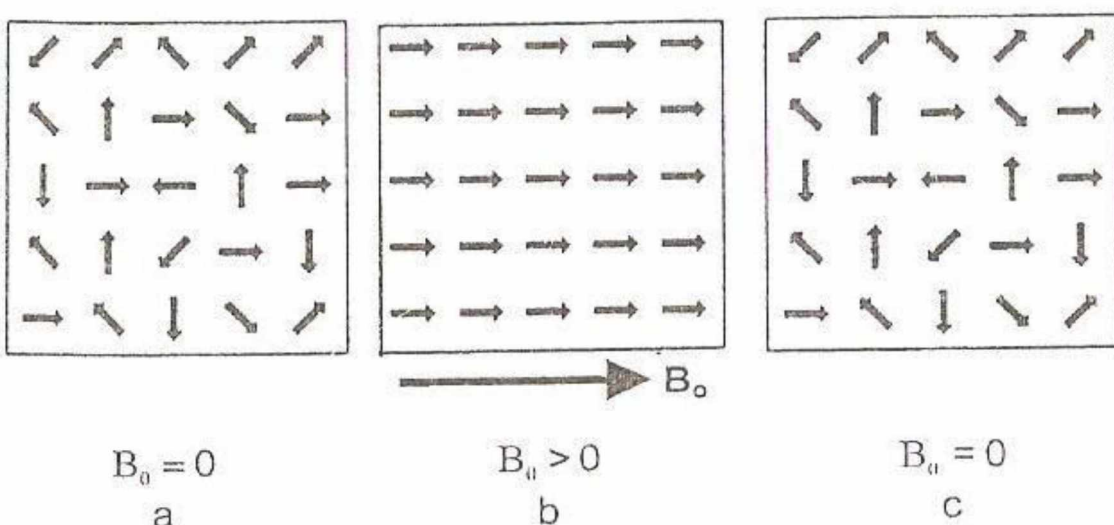


Maddelerde diyamanyetizma özelliği olmakla birlikte paramanyetizma veya ferromanyetizmaya göre daha zayıftır (Durlu, 1992).

### 2.2.2. Paramanyetik Maddeler

Maddenin paramanyetik olması, yapısında eşleşmemiş elektronu bulundurmasına bağlıdır. Bir malzemeye uygulanan manyetik alan rasgele yönlerde yönlenmiş olan momentlerin yönelimini değiştirerek alanla aynı yönü almaya çalışırlar ve manyetik

dipolün enerjisi azalır. Mıknatışlanmanın tekrar sıfır olması için uygulanan manyetik alanın kaldırılması gereklidir ki bu özellikteki maddelere paramanyetik maddeler denir (Emen, 2005). Paramanyetik maddeler dış alan içinde alanın daha şiddetli olduğu yere hareket eder. Bu nedenle paramanyetik denilen bu maddelere alan içine doğru çekken bir kuvvetin etkidiği düşünülür. Bu kuvvet büyülü bakımından, hemen hemen bütün paramanyetik maddeler için, diyamanyetik maddelere etkiyen itme kuvvetinden pek farklı değildir. Sıcaklık düştükçe paramanyetik maddelere etkiyen kuvvet büyür ve mutlak sıfır noktası yakınılarında bu kuvvet çok büyük değerlere ulaşabilir (Emen, 2005). Alüminyum elementi ve alaşımıları paramanyetik maddeye örnek olarak verilebilir.

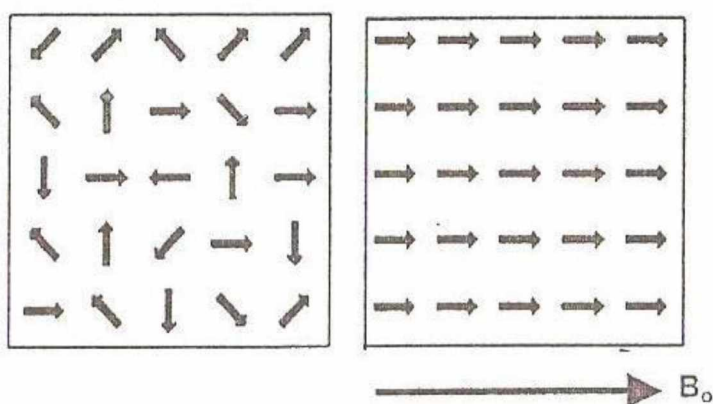


**Şekil 2.5.** Dış manyetik alanın a) yokluğunda, b) varlığında ve c) alan kaldırıldığında paramanyetik maddede manyetik momentlerin yönelimi.

### 2.2.3. Ferromanyetik Maddeler

Ferromanyetik maddelerde atomik manyetik momentler, bir dış manyetik alanın yokluğunda bile manyetik domain olarak adlandırılan makroskopik bölgelerde birbirlerine paralel olarak yönelirler (Halliday ve ark., 1923). Zayıf bir dış manyetik alan içinde dahi olsalar bu maddeler, birbirlerine paralel olarak yönelmeye çalışan atomik dipol momentlere sahiptirler.

Uygulanan dış manyetik alan kaldırılsa bile paralel olarak yönelen dipol momentler madde içerisinde aynı yönde sürekli olarak kalmaya devam ederler. Bu durum manyetik dipol momentlerinin birbirleriyle etkileşimi sonucu ortaya çıkar (Emen, 2005). Demir, Nikel, Kobalt, Godolinyum ve Disprosyum gibi maddeler manyetiklik açısından oldukça kuvvetli maddeler olup bu maddeler ferromanyetik madde olarak adlandırılır.

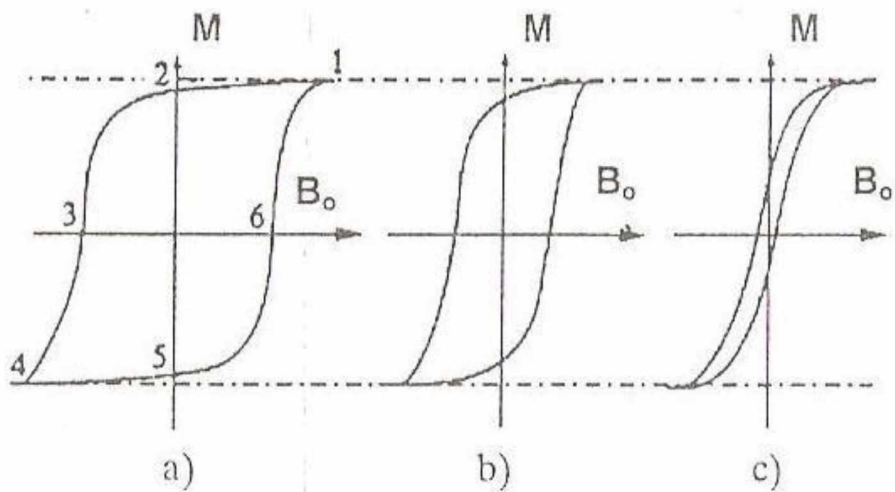


**Şekil 2.6.** Bir dış manyetik alanın yokluğunda ve varlığında bir ferromanyetik malzemede domain mıknatışlanması.

Ferromanyetik maddeler kendi arasında yumuşak ve sert ferromanyetik olarak iki gruba ayrılır (Jiles, 1991). Sert ferromanyetik; sürekli olarak mıknatışlanma durumunu koruyan ferromanyetler olarak adlandırılırken mıknatışlanması sürekli olarak korumayan ferromanyetlere de yumuşak ferromanyetler denir. Demir ferromanyet olmasına rağmen mıknatışlanması kalıcı değildir (Emen, 2005). Yumuşak ferromanyetik malzemeler kolay mıknatışlanırlar ve mıknatışlıklarını kolayca da kaybedebilirler. Elektrik motoru, jeneratör, elektromıknatılık ve benzeri aygıtların çekirdekleri bu tür malzemelerden yapılır. Endüstride kullanılan Alnico adıyla bilinen yarısı demir, geri kalanları alüminyum, nikel, kobalt ve bir miktar bakır olan alaşımalar önemli sert ferromanyetiklerdir. Elektrik sayaçları gibi hassas ölçüm yapan aletlerde ve yüksek ve kalıcı mıknatıslık özelliği isteyen alanlarda kullanılabilir (Callister, 2007; Jiles, 1991). Manyetik dipol momentleri ‘domain’ denilen bir mikroskopik bölgelerde

bulunan ferromanyetik malzemelerin sert ya da yumuşak manyetik özelliklerini histerisis ölçümüleri ile belirlenebilir (Jiles, 1991).

Mıknatışlanma oluşurken dışardan uygulanan manyetik alanın bir eğrisi çizilir. Yumuşak, orta ve sert ferromanyetik malzemelerin histerisis eğrileri şekil 2.7.'deki gibidir.



**Şekil 2.7.** Ferromanyetik maddelerde Hysterisis eğrisi. a) sert, b) orta, c) yumuşak ferromanyetik maddede uygulanan dış manyetik alana göre madde içindeki mıknatışlanma

Bazı ferromanyetik malzemeler için dışarıdan uygulanan  $B_o$  manyetik alanına karşı  $M$  mıknatışlanma ilişkisi şekil 2.7' de gösterildiği gibi ferromanyetik maddeye uygulanan  $B_o$  alan yavaş yavaş artırılarak tüm manyetik momentlerin alan içinde alan doğrultusunda yönelmesi sağlanırsa, mıknatışlanma doyum noktasına ulaşır. Mıknatışlanmanın doyum noktası şekilde 2.7.a. olarak gösterilmiştir. Bu noktadan itibaren dışarıdan uygulanan manyetik alan azaltılır ve değeri  $B_o=0$  olması durumunda mıknatışlanmanın varlığı devam etmektedir. Şekil 2.7.b. olarak gösterilmiştir. Bu noktadan sonra  $B_o$  alanı ters yönde uygulanır yavaş yavaş artırılırsa 3 noktasına yaklaşırken mıknatışlanmanın azaldığı ve tam bu noktada  $M=0$  değerini aldığı görülür. Ters yönde  $B_o$  alanı artırılmaya devam ettirilirse mıknatışlanma negatif yönde doyuma ulaşır. Bu durum da Şekil 2.7.c.'de gösterilmiştir. Ters yönde uygulanan  $B_o$  azaltılarak 5

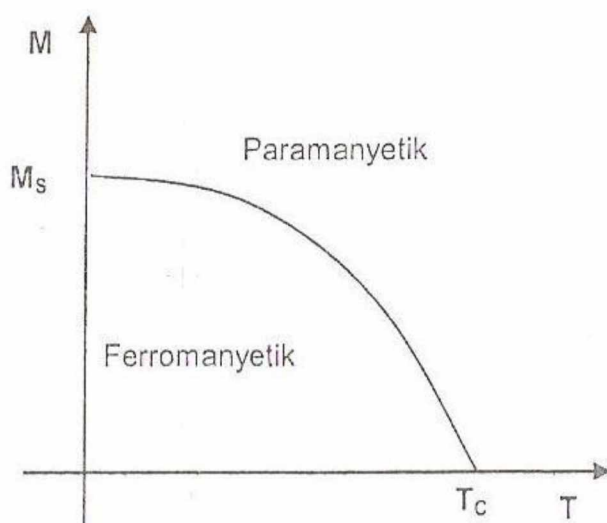
noktasına ulaşılırsa ( $B_0=0$ ) mıknatışlanmasıının olduğu gözlenir. Şayet  $B_0$  alanı orijin doğrultusunda uygulanır ve artırılmaya devam edilirse 6 noktasında mıknatışlanmasıının sıfır olduğu gözlenir. Bu olay manyetik hysteresis olarak bilinir (Anonim, 2012).

P. Curie, paramanyetik maddelerin mıknatışlanmasıının dışarıdan uygulanan manyetik alan  $B_0$  doğru, ortamın sıcaklığı ile ters orantılı olarak değiştigini bulmuştur. Bu ifade;

$$\mathbf{M} = \mathbf{C} \cdot \frac{\mathbf{B}_0}{T}$$

biçimindedir ve Curie yasası olarak bilinen bu ifadede  $C$ , Curie sabiti olarak adlandırılır (Kirim, 1979).

Ferromanyetik bir maddenin  $M$  mıknatışlanması ile  $T$  mutlak sıcaklığı arasındaki ilişki şekil 2.8'te verilmiştir.



**Şekil 2.8.** Ferromanyetik bir maddede mıknatışlanma ile mutlak sıcaklık arasındaki ilişki

Şekil 2.8'de  $T_c$  mutlak sıcaklık artıkça  $M$  manyetikliğin azaldığı görülür.  $T_c$  mutlak sıcaklığın altında kalan kısmının ferromanyetiklik özelliği gösterdiği görülmeyecek. Mutlak sıcaklığın üstündeki bir sıcaklık değerinde ise maddenin paramanyetik özelliği gösterdiği görülmeyecek.

### **2.3. Faz Dönüşümleri**

Fizikte ve malzeme biliminde faz kavramı önemli bir yere sahiptir. Faz, maddenin homojen bir hali olarak tanımlandığı gibi başka bir ifadede ise malzemede iç yapı yönünden farklılık gösteren kısımlara da faz denilmektedir (Durlu, 1989; Güngüneş, 2005). Metal ve合金larının çeşitli denge hallerindeki iç yapıları, termodinamik kanunların kontrolü altında olup kullanılan maddenin atomları ve molekülleri gibi küçük elemanlarının toplamı termodinamik sistemi meydana getirir. Böyle bir sistemi çevreden yalıtılmış olarak kararlı hale getirebilmek için kendi iç şartlarında yeteri kadar bekletilirse denge halini alır. Denge halini almış herhangi iki sistem, kendi arasında homojen bir sistem olmakla birlikte ikisi bir arada bulunduğu zaman heterojen bir sistem oluşturur. Bu şekilde heterojen bir sistem homojen kısımlarına ayrılabilir, böyle gruptara sistemin fazları denir (Yılmazlar, 1993).

Metal合金 kristalleri, farklı fizikal şartlar altında farklı fazlarda bulunabilirler. Fizikal şartların değişmesi sonucu bir fazdan bir başka faza geçme işlemine de faz dönüşümü denir. Faz dönüşümü, sıcaklığın aniden düşürülmesi veya yükseltilmesi sonucunda veya dışarıdan mekaniksel zorun etkisi altında meydana gelir. Bu dönüşüm esnasında dönüşmüş ve dönüşmemiş bölgelerin sadece kristal yapıları değişir (Durlu, 1989). Atomların homojen olarak dizilmesi sonucu oluşan belirli yapılarla değişik fazlar oluşur. Kararlı denge halinde olan bir faz dışarıdan uygulanan fizikal bir etki ile enerjisi değişir, dengesi bozulur. Atomlar tekrar denge durumuna gelmek için daha düşük enerji gerektiren yeni bir faz durumuna gelmek ister. Denge durumundaki bir fazdan başka bir denge durumuna geçişe "faz dönüşümü" denir (Güngüneş, 2005). Atomlar yeni faz durumuna geçerken yer değiştirirler. Faz dönüşümü sırasında atomların konumları ya da komşulukları değişiyor ise bu tür faz dönüşümleri "difüzyonlu faz dönüşümleri" olarak isimlendirilirken atomların konumlarının ya da komşuluklarının değişmediği faz dönüşümleri ise "difüzyonsuz faz dönüşümleri"

olarak isimlendirilir (Güler, 2005). Demir ve kalay gibi bazı metaller allotropiktirler. Her metal farklı sıcaklık aralığında kararlı birkaç yapıda kristalleşirler. Burada her kristal yapı ayrı bir fazdır. Dolayısıyla allotropik metaller birden fazla katı fazında olurlar. Demirin; alfa ( $\alpha$ ), gama ( $\gamma$ ) ve delta ( $\delta$ ) ile gösterilen üç ayrı katı fazı vardır. Gerçekte, hacim merkezli kübik (bcc) yapısına sahip olan  $\alpha$  ve  $\delta$  fazları birbirinin aynı olduğundan, demirde iki farklı katı fazı vardır (Yılmazlar, 1993). Demirin üçüncü bir katı ( $\beta$ ) fazına sahip olduğu düşünülmüştür. Çünkü ısıtma ve soğutma eğrileri 500-791 °C sıcaklık aralığında faz dönüşümü gösterdi. Bu sıcaklık aralığında demirin ferromanyetik durumundan paramanyetik duruma geçtiği gözlendi. Manyetik dönüşüm bölgesinde kristal yapı bcc kaldırıldan,  $\beta$  fazı ayrı bir faz olarak kabul edilmedi. Manyetik dönüşümün  $\alpha$  fazında olduğu düşünüldü (Yılmazlar, 1993).

Eski çağlardan beri metaller hayatımızda çok önemli yere sahiptir. İnsanlık tarihinde demir çağının başlaması ile yumuşak demirin insanların kullanım alanlarında fiziksel ve mekanik ihtiyaçlarını karşılayamaz bir döneme girilmiştir. O dönemlerde demirciler demiri yüksek sıcaklıklarda kor haline getirerek hızlı bir şekilde suda soğutulması ile demirin sertleşmesini sağlayan teknik kullanırdı. 16. yüzyılın sonlarına kadar bu yöntem akademik bir ilgi görmemiştir. 1639 yılında Rene Descartes'le başlayan çalışmalar 1671 yılında Jacques Rohault ile devam etmiştir. Charles Perrault 1680'de yaptığı çalışmada hızlı bir şekilde soğutulan çeliğin hacminde artma olduğunu görmüştür. İsveçli kimyacı Sven Rinman demir ve çelik arasındaki farklılığın “plumbago” olarak bilinen bir durumdan kaynaklandığı bilgisine yeni bir bilgi ekleyerek bunun karbon olarak bilinen maddeden kaynaklandığını belirtmiştir. 1866-1868 yılları arasında Dimitri Chernov çelikte oluşan dönüşümün kritik sıcaklıklarını karbon miktarının bir fonksiyonu olarak keşfetmiştir (Güler, 2005). 1861 yılında Henry Sorbi ile metallerin mikroskopik tekniklerle incelenmesine başlanmıştır. Hemen ardından Alman metalograf Adolf Martens ile devam etmiştir. 1869'da G. Gore kritik bir sıcaklıkta çeliğin bir anlık uzamasını gözlemlerken 1890'da Floris Osmond demirin alfa ( $\alpha$ ), gama ( $\gamma$ ) ve beta ( $\beta$ ) fazlarının değişimini farketmiştir. Floris Osmond çeliklerde gözlenen mikroyapıların, gözlemleyen kişilerin isimlerinin verilmesini önermiş ve kabul görmüştür. Böylece Adolf Martens'in gözlemlediği mikroyapı “Martensite” adını almıştır. 1930'larda martensite terimi yoğun olarak kullanılmıştır. İlk başlarda

çeliklerde sert mikroyapıya sahip olan bu terim sonraları bakırlı alaşımında, seramiklerde,  $\text{RbNO}_3\text{KNO}_3$  gibi organik bileşiklerde, düşük sıcaklıklarda  $\text{V}_3\text{Si}$  ve  $\text{Nb}_3\text{Sn}$  gibi A15 bileşiklerinde, Y-Ba-Cu-O gibi yeni yüksek sıcaklıklı süper iletkenlerde ve kristal yapıya sahip protein gibi malzemeler içinde kullanılarak günümüzde kadar gelmiştir (Vanpaemel, 1982; Petty, 1970; Wayman, 1990). Metal malzemelerin martensitik faz dönüşümünü 1895 yılında Adolf Martens demir bazlı alaşımında gözlemiştir (Günay, 2000). Demir alaşımından sonra Au, Cu, Zn, Sn, Al ve Ti gibi metal alaşımlarında da martensitik faz dönüşümleri ortaya çıkmıştır (Wayman, 1980).

Bir katı-katı faz dönüşümü olan martensitik dönüşümde dönüşüme uğramamış kısmın (ana faz) kimyasal kompozisyonu, dönüşüme uğramış olan kısmın (ürün faz) kimyasal kompozisyonu ile aynıdır. Bu dönüşüm boyunca atomik difüzyonun olmadığı anlamına gelir. Yani martensitik dönüşüm bir çeşit difüzyonsuz dönüşümdür. Genelde tüm metal ve alaşım原子 atomlarının difüzyonlu bir oluşumla yer değiştiremeyecekleri kadar hızlı bir şekilde soğutulduğlarında (veya ısıtıldıklarında) difüzyonsuz faz dönüşümü gösterirler (Güner, 2006; Nishiyama, 1978).

Martensitik faz dönüşümleri bir kristal yapıdan yeni bir kristal yapıya dönüşürken difüzyonsuz olarak gerçekleşir. Martensite kristal yapı (ürün faz) oluşurken austenite kristal yapı (ana faz) tümü ile ürün faza dönüşmez. Austenite içerisinde serpilmiş olarak martensite kristalleri düzgün olmayan bir dağılımla bulunurlar. Martensitik dönüşüm; metal ve alaşımında görülen bir yapısal faz dönüşümüdür. Austenite faza dışarıdan uygulanan; sıcaklık, zor, manyetik alan, hidrostatik basınç gibi dış etkilerin ayrı ayrı veya birlikte uygulanmasıyla martensite faz (ürün faz) oluşur. Martensitik dönüşüm ve martensite için genel bir tanım yapacak olursak; martensitik dönüşüm, atomların topluca hareketi ile meydana gelen bir faz dönüşümüdür. Martensitik dönüşüm ürünü ise “martensite” olarak adlandırılır (Nishiyama, 1978).

Araştırmacılar martensitik dönüşümü farklı şekillerde tanımlamışlardır. Nishiyama'ya göre (1978), atomların toplu hareket edebildikleri bir faz geçişidir. Christian (1965), martensitik dönüşümü; basit oluşum mekanizması nedeniyle, atomik difüzyonun gerekmediği, serbest enerjinin net bir azalımı ile gerçekleşen hızlı bir yeni oluşumu olarak tanımlanır. Clapp'ın (1985) yaptığı tanım ise bir atom takımının,

şekil değişimi ortaya çıkaracak şekilde, bir ara yüzey boyunca topluca hareketi ile oluşan bir faz geçişidir.

Martensite plakaların kristal yapı yüzeyinde oluşması ile yüzeyde kabartılar oluşur. Yüzeydeki bu kabartılar makroskopik olarak görülen en belirgin özelliklerdir. Bu özelliğe yüzey rahatlaması adıda verilir. Bu yapı martensite kristallerinin olduğu sırada yüzeyde meydana gelen yükselmedir. Mikroskopla görülen bu yüzey rahatlaması martensitik dönüşüm için önemli bir başka özelliktir (Nishiyama, 1978). Greninger ve Troniano 1949 yılında yaptıkları çalışmalarda Fe-%22 Ni- %0.8 C合金ının yüzeyinde parlatma ve dağlama yapıldığında; martensite plakasının olduğu yerde yüzey rahatlamasının (surface relief) var olduğunu görmüşler ve bu değişimi incelemiştir (Kaufman ve ark., 1956).

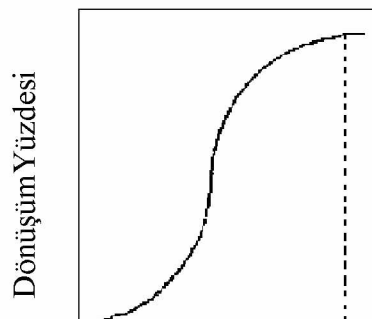
Tersinir bir dönüşüm olması martensitik dönüşümün diğer bir özelliğiidir. Oluşan martensite kristalleri,  $M_s$  sıcaklığınınından daha yüksek bir  $A_s$  sıcaklığında yeniden austenite kristaline dönüştürülür. Martensite fazındaki alaşım ısıtılıncı,  $A_s$  sıcaklığında austenite yapı oluşmaya başlar ve  $A_f$  sıcaklığında yapı tamamen austenite yapıya dönüşür (Güner, 2006).

Martensitik faz dönüşümlerinin genel karakteristik özelliklerinin açıklanmasında; sıcaklığa bağlılık, zamana bağlılık, uygulanan zorun etkisi, kimyasal kompozisyon, atomik hacim, yeni fazın şekli ve kararlılığıda önemlidir (Güner, 2006).

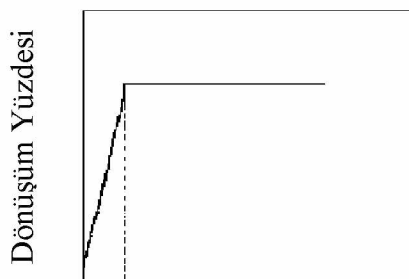
Martensitik dönüşümün gerçekleşmesinde iki mekanizmanın varlığından söz edilebilir. Bunlar; “çekirdeklenme” ve “büyüme” dir. İlk yıllarda martensitik dönüşüm için klasik çekirdeklenme teorisi (homojen çekirdeklenme) genel olarak düşünülmüştür. Sonraki yıllarda önemli gelişmeler olmuş ve 1956 yılında Kaufman ve Cohen Fe- Ni合金larının üzerinde çalışmışlar ve martensite başlama sıcaklığı  $M_s$ 'in belirlenmesi ile martensitenin homojen olarak çekirdeklenidine tam olarak inanmamışlardır. Çalışmalarında Fe- Ni合金ları serisinde;  $M_s$  martensite başlama sıcaklığı Ni içeriğinden dolayı giderek azalmıştır. Yaklaşık -120 °C nin altındaki  $M_s$  sıcaklıklarında homojen çekirdeklenme modelleri engellenir. Böylece Kaufman ve Cohen; düşük  $M_s$  sıcaklıklarında austenitedeki belirli yerlerde heterojen çekirdeklenme ile uyumlu

olmalıdır diye düşünmüştür. Bu olayı kimyasal serbest enerjideki değişimler ilede ilişkilendirilebilir. Böylece çekirdeklenmenin martensite oluşumunda homojen olarak değil heterojen olarak olduğu kanısına varılmıştır (Kaufman ve ark., 1956). Kinetik özellikleri bakımından alaşım sistemlerinde martensitik dönüşüm atermal ve izotermal olarak meydana gelir. Atermal dönüşüm; sıcaklığa bağlı zamandan bağımsız bir dönüşümdür. İzotermal dönüşüm ise hem zamana hem de sıcaklığa bağlı döñüşümdür (Kakeshita ve ark., 1993; Wayman, 1964).

Atermal ve izotermal dönüşümler için dönüşümün zamana bağlılığı Şekil 2.9 ve Şekil 2.10'da verilmiştir.



**Şekil 2.9.** İzotermal dönüşüm için dönüşüm yüzdesinin zamanla değişimi (Yaşar, 2005)



**Şekil 2.10.** Atermal dönüşüm için dönüşüm yüzdesinin zamanla değişimi (Yaşar, 2005)

Bunshah ve Mehl (1953), Fe-bazlı alaşımında ısisal etki ile oluşan atermal özellikli martensite kristallerinin  $10^{-7}$ s gibi kısa bir zamanda ortaya çıktığını ölçmüştür (Bunshah ve ark., 1953). Bazı durumlarda martensite kristalleri,  $M_s$  sıcaklığının altında veya üstünde atermal olarak oluşabilir. Atermal tip dönüşümlerde; oluşan martensitenin miktarı sadece  $M_s$  sıcaklığına bağlıdır, o sıcaklıkta tutulma süresine bağlı değildir (Sinha, 2003). Austenite haldeki numunenin sıcaklığı düşürülerek belli bir  $M_s$  sıcaklığına gelindiğinde austenite yapı içinde martensite kristalleri oluşmaya başlar. Sıcaklık düşüşü ile dönüşüm devam eder ve dönüşüm  $M_f$  sıcaklığında tamamlanır. Bu dönüşüm izotermal dönüşüm olarak adlandırılır. İzotermal dönüşüm belli bir sıcaklık aralığında devam eder. İzotermal dönüşümün en belirgin özelliği, dönüşüm hem sıcaklığın hem de zamanın fonksiyonu olmasıdır. Atermal martensitik dönüşüm ise yüksek dönüşüm hızından dolayı izotermal dönüşümün çok hızlı bir şekli olarak düşünülmüştür. Bu nedenle her bir martensite kristalinin oluşumunu ve büyümeyi incelemek oldukça zordur (Nishiyama, 1978).

Martensitik dönüşümün başlama sıcaklığı olan  $M_s$ 'in değerinin ilk yıllarda yapılan çalışmalarla sabit olduğu düşünülmüştür. Bu sıcaklığın soğutma hızına bağlı olmadığı söylemiştir (Cettrell, 1954). İlerleyen zamanlarda yapılan çalışmalarla  $M_s$  sıcaklığının artan soğutma hızı ile azaldığı görülmüştür (Tsai, 2002). Austeniteleme sıcaklıklarının değişmesi ve soğutma hızının  $M_s$  sıcaklığının değişmesinde etkili olduğu görülmüştür (Tsai, 2002). Alaşımardaki elementlerin miktarlarının değişimi de  $M_s$  sıcaklığını etkiler. Örneğin C, Ni ve Mn elemetlerinin miktarlarının artırılması  $M_s$  sıcaklığını azaltırken, Co ve Al elemetlerinin eklenmesi  $M_s$  sıcaklığını yükseltir (Petty, 1970).

Başka bir çalışmada da dışarıdan uygulanan bir manyetik alanın etkisinde çeliğin  $M_s$  sıcaklığının yükseldiği görülmüştür (Voronchikhin ve ark., 1967; Malinen ve ark., 1969; Shimizu ve ark., 1989).

Yukarıda bahsedilen değişik bilim insanların ortaya koyduğu çalışmaların sonucunda  $M_s$  sıcaklığını etkileyen birçok faktörün olduğu ortaya çıkmıştır. Bu faktörler martensite başlama sıcaklığı ( $M_s$  sıcaklığı)'ı etkileyen faktörlerdir. Bu faktörleri; Ya-

pının kimyasal kompozisyonu, zor ve zorlanma, kristal kusurlar ve çökelti, soğutma hızı, austenitenin tane büyülüğu, uygulanan manyetik alan, hidrostatik basınç, austenitlenme sıcaklığı şeklinde sıralayabiliriz (Güler, 2006). Austenite yapıya dışardan uygulanan mekanik zor martensite oluşumu sırasında dönüşüm için etki etmektedir. Isı değişimi olmadan yalnızca zor etkisi ile martensite faz dönüşümünün olabileceğini deneysel çalışmalar göstermiştir (Christian, 1975; Porter ve ark., 1981).

Martensitik bir dönüşüm için zorun uygulanma sıcaklığı,  $M_s$  sıcaklığının üstünde bir sıcaklık aralığıdır. Austenite faza veya austenite-martensite her iki fazın karışımına uygulanan zor,  $M_s$  sıcaklığının üzerinde bir sıcaklık aralığında dönüşüm için bir tetikleme görevi yapar. Bu şekilde oluşan bir dönüşüm zor etkisiyle gerçekleşmiştir. Termal etkileyle önceden oluşmuş çekirdeklenme yerlerinde fakat zor etkisiyle gerçekleşir. Yani, uygulanan zor ile yeni çekirdeklenme oluşmaz ancak zor öncesi varolan çekirdeklenme noktalarında oluşum gerçekleşir. Bu şekilde oluşan martensite, zor-ekili martensite (stress-induced) olarak isimlendirilir. Şayet dönüşüm, plastik deformasyon ile ve yeni çekirdeklenmeler oluşarak meydana geliyorsa bu durumda oluşan martensite, zorlanma-ekili martensite (strain-induced) olarak adlandırılır. Zor-ekili ve zorlanma-ekili martensiteler birbirileyle kıyaslandığında her ikisi de zor etkisi ile oluşmasına karşılık çekirdeklenmelerinin farklı olduğu görülür (Read, 1970; Gall ve ark., 1998).

#### **2.4. Austenite-Martensite Faz Dönüşümlerinin Kinetik Özellikleri**

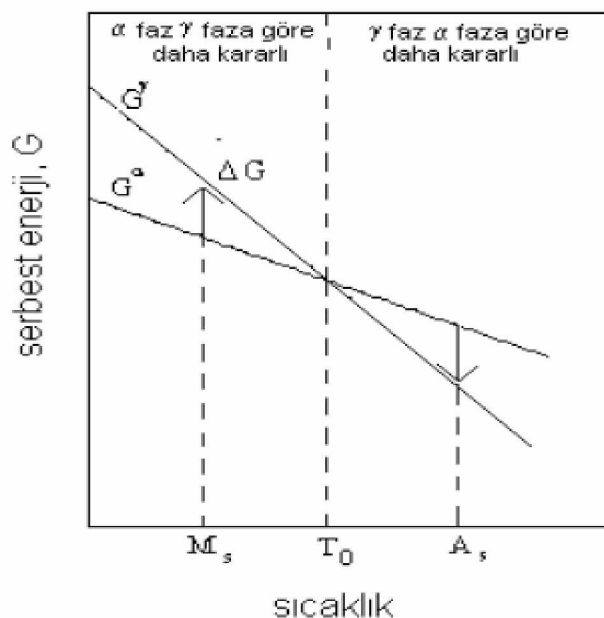
Çevre şartlarının değişmesi atomlar arası bağ kuvvetlerinin değişmesine yol açarken üzerinde çalışılan sistemin kararlılığı da değişmiş olur. Faz dönüşümü sırasında gerçekleşen bu durum sistemin kararlılığına bağlıdır. İç enerjiye bağlı olan sistemin kararlılığı; en düşük enerjiye sahip sistemlerde en kararlı durumdadır. Çevre şartlarının değiştirilmesi ile atomik düzeni bozulan sistem, kararlı durumunu korumak için en düşük enerjili atomik düzenimi tercih edecektir.

Austenite fazındaki bir numuneye soğutma etkisi uygulanması sonucunda oluşan martensite fazı düşük sıcaklık fazıdır ve austenite faza göre daha kararlı bir fazdır.

Bunun nedeni ise düşük sıcaklıkta meydana gelen fazlar, en düşük enerjiye ve güçlü atomik bağlanmaya sahip olduklarından en kararlı fazları oluştururlar (Güner, 2006).

Bir sistemin serbest enerjisini sıcaklık ve basınç etkisi değiştirebileceği gibi elektrik ve manyetik alan etkiside değiştirebilir. Serbest enerjideki bu değişim kristallerin atomik yapısında değişikliğe neden oluyorsa sistemde faz dönüşümü olduğu söylenir (Rao ve ark., 1982). Austenite-Martensite faz dönüşümünün meydana gelebilmesi için martensite fazın serbest enerjisinin austenite fazın serbest enerjisinden daha düşük olması gereklidir (Nishiyama, 1978). Minimum serbest enerji kuralına göre bir sistem birçok değişik durumlara izin verirse sistemin bu durumlardan en düşük serbest enerjili olanını seçmesi beklenilir. Serbest enerji farkı, faz dönüşümü için gerekli olan "sürücü kuvvet" olarak adlandırılır (Kahveci, 1997). Faz dönüşümleri termodynamik denge sıcaklıklarında çok yavaş olur. Sadece belli bir soğutma derecesinde ölçülebilir oranda ve bu oranları etkileyen faktörler dönüşüm kinetiğinin konusudur. Isıtıldığında ya da soğutulduğunda bir metal veya alaşım yeni bir kristal yapıya ya da faza dönüşür. Serbest enerji kavramı ile açıklanan bu faz dönüşümü verilen bir alaşım için; sıcaklık ve kimyasal kompozisyonun fonksiyonu olarak değişen bir serbest enerjiye sahiptir (Kaufman ve ark., 1968).

Başlangıçta  $T_0$  denge sıcaklığının üzerindeki sıcaklıklarda en kararlı durumda bulunan austenite faz sıcaklığının hızlıca düşürülmesi ile  $M_s$  sıcaklığından sonra austenite yapı içinde martensite yapının oluşmaya başlaması gerçekleşir. Her iki fazın serbest enerji farkı dışında dönüşümün gerçekleşmesi için yüzey enerjisi ve dönüşüm zorlama enerjisi gibi de ek bir enerjiye ihtiyaç vardır.  $T_0$  sıcaklığında her iki fazın serbest enerjisi eşit olduğundan dönüşüm olayı gerçekleşmez.  $T_0$  denge sıcaklığı dönüşümün önemli bir kinetik parametresidir ve her iki fazın serbest enerjisi eşittir ve fark sıfırıdır.  $T_0$  denge sıcaklığının altındaki sıcaklıkta martensite fazın serbest enerjisi daha küçük olduğundan minimum enerji kuralına göre martensite faz daha kararlıdır.  $T_0$  denge sıcaklığının üzerindeki sıcaklıklarda ise fark sıfırdan küçüktür ve austenite faz daha kararlıdır.  $T_0 - M_s$  sıcaklık farkı sonucu açığa çıkan enerji kimyasal serbest enerji olarak adlandırılır. Bu enerji dönüşümü için gerekli olan sürücü kuvveti doğurur (Nishiyama, 1978). Bu olay şekil 2.11'de gösterilmiştir.



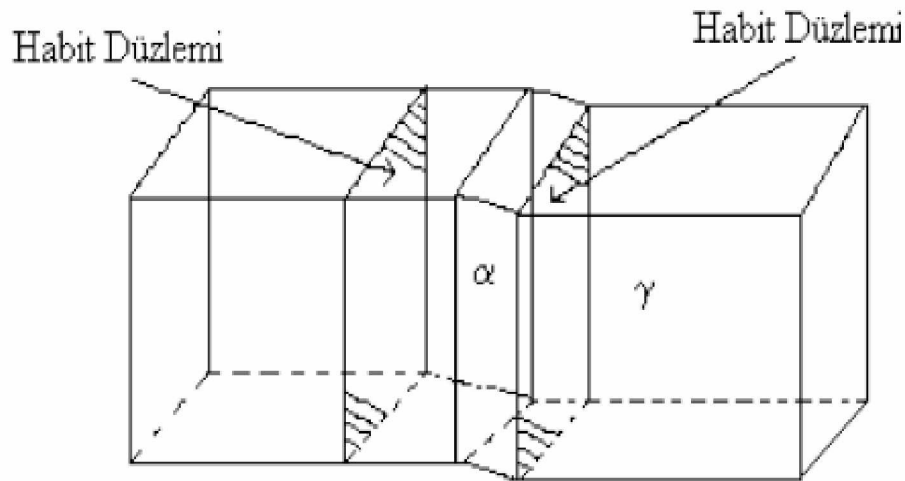
**Şekil 2.11.** Austenite- Martensite Fazlarının serbest enerjilerinin sıcaklığın fonksiyonu olarak değişimi (Kaufman, 1958)

## 2.5. Austenite- Martensite Faz Dönüşümlerinin Kristolografik Özellikleri

Deneysel olarak gözlenebilen Austenite- martensite faz dönüşümlerinin üç önemli parametresi vardır. Bunlar; austenite fazı martensite fazdan ayıran düzlem olarak bilinen “habit” düzlemi, yüzey rahatlaması olarak bilinen “şekil değişimi” ve austenite faz ile martensite faz arasında ortaya çıkan “kristolografik dönme bağıntıları”dır (Kostorz, 2001).

Martensite dönüşümün açıklanmasında habit düzlemi önemli bir yer tutmaktadır. Dönüşümü tamamlanan austenite- martensite fazda görülen bir düzlemede dönme ve bozulmaya uğramamış iki kristal yapı bulunabileceği varsayılmıştır.

Austenite-martensite dönüşümünün gerçekleşmesinden sonra oluşan martensite kristal yapıyı austenite yapıdan ayırması gereken ve düzlem olduğu varsayılan bu sınıra (habit düzlem) alışım düzlemi denir (Güler, 2006).



**Sekil 2.12.** Austenite-Martensite dönüşümü sonrası ortaya çıkan martensitekristalle rinin yerleşim şeması

Makroskopik düzeyde deformasyona uğrayan martensitik dönüşümde şekil değişimi gerçekleşir. Bu şekil değişimi önceden parlatılan bir austenite yüzeyinde martensite oluşmasına sebep olmaktadır (Nishiyama, 1978). Oluşan martensite fazın yüzeyi incelediğinde parlatılmış austenite yüzeyindeki değişiklik gözle görülebilecek bir hal almıştır.

Kristolografik dönme bağıntıları ise üçüncü ve önemli bir parametre olarak karşımıza çıkmaktadır. Habit düzlemi ile birlikte kristolografik dönme bağıntıları arasındaki ilişki göz ardı edilmemelidir. Habit düzlemi ve kristolografik dönme bağıntıları ikisi arasında bir ilişki görülp austenite fazın kristolografik örgüleriyle martensitik fazın kristolografik/orgüleri arasında ortaya çıkar. Austenite ve martensite fazlar arasında kristolografik dönme bağıntıları kristolografik açılarla ifade edilebilir. Farklı bir şekilde ifade edilmek istenirse o zamanda her iki fazın düzlem ve doğrultularının paralellilikleri ile ifade edilebilir (Güler, 2005).

C çeliği üzerinde 1930 yılında Kurdjumov ve Sacks tarafından % 1.4 C çeliği kullanılarak yapılan incelemelerde kristolografik dönme bağıntısı:

$$(111)_p // (011)_m$$

$$[\bar{1}11]_p // [\bar{1}\bar{1}1]_m$$

şeklinde gösterilmiştir (Waymann, 1990).

Buradaki bağıntıda alt indis p ile gösterilen ana faz olan fcc yapıdaki austenite fazı, m ile gösterilen indis ise bcc ya da bct kristal yapıdaki martensite fazı göstermektedir. Kurdjumov ve Sacks tarafından incelenen bu bağıntının adı K-S dönme bağıntısı olarak tanımlanır. Bu tür kristolografik dönme bağıntısı  $(2\ 2\ 5)\gamma$  habit düzlemi ile ilişkilidir. Buradaki bağıntıda dikkati çeken sıkı paket düzlemler ve iki örgüde yönelmelerin paralel olmasıdır.

Nishiyamanın yaptığı bir çalışması olan Fe-30% Ni alaşımı için austenite-martensite faz dönüşümünün kristolografik dönme bağıntısı:

$$(111)p \approx 1^\circ (011)m$$

$$[\bar{1}\ 0\ 1]p \approx 2.5^\circ [\bar{1}\bar{1}\bar{1}]m$$

Şeklinde tanımlanan bir dönme bağıntısı bulmuştur (Nishiyama, 1934). Wassermannda bu bağıntını doğruluğunu kabul etmiş ve bu bağıntı Nishiyama ve Wassermann tarafından doğrulanmış bu bağıntı N-W ilişkisi olarak literatüre geçmiştir. Bu tür kristolografik dönme bağıntısında genelde  $(2\ 5\ 9)\gamma$  habit düzlemi ile ilişkilidir (Wassermann, 1935).

Bu tür kristolografik dönme bağıntısı üzerinde çalışan bir başka bilim adamlarıda Greninger ve Troniano (1940) Fe-22%Ni-0,8% C alaşımındaki austenite-martensite faz dönüşümü çalışmışlar ve

$$(111)p \approx 1^\circ (011)m$$

$$[\bar{1}\ 0\ 1]p \approx 2.5^\circ [\bar{1}\bar{1}\bar{1}]m$$

olduğunu görmüşlerdir. Bu kristolografik dönme bağıntısı ise Greninger ve Troniano tarafından G-T yönelim ilişkisi olarak adlandırılır. G-T türü kristolografik dönme bağıntısı (3 10 15) habit düzlemi ile ilişkilidir (Christion, 1966).

Yukarıda farklı bilim adamlarının çalışmaları sonucu ortaya çıkan üç dönme bağıntısı austenite ana fazın fcc yapısı ile martensite ürün fazları bcc veya bct yapısı arasındaki kristolografik dönme bağıntılarıdır.

1924 yılında ilk kez Bain tarafından “martensitenin doğası” olarak adlandırılan kristolografik bir model ortaya atılmıştır. Bu modele göre martensitik faz dönüşümünün kristografisinde fcc-bcc örgü uyumu söz konusudur (Raghavan ve ark., 1972). Bain’ın ortaya attığı bu model daha sonraları “Bain zorlaması” olarak anlaşılmaması zor olmayan bir model olarak önerildi (Bowles, 1972). Uzun yıllar bain tarafından ortaya atılan bu model kabul gördü. Fakat bu süreç, bir fcc austenite yapının bir bcc (bct) martensite yapıya dönüşümü olarak kabul gören basit bir “kurulum” sürecidir ve günümüzde hala martensitik dönüşümün kristografisinin açıklanmasında temel rol oynamaktadır.

## **2.6. Martensite Fazın Morfolojisi**

Yapılan araştırmalarda austenite-martensite faz dönüşümleri çalışmalarında austenite yapı içinde oluşan martensite kristalleri incelenmiştir. Demir alaşımaları incelediğinde, martensite fazın iki ana başlık altında inceleyebiliriz. Bunları sıralayacak olursak plate martensite ve lath (iğne) şeklindeki martensite morfoloji üzerine kurulduğu gözlenmiştir. Bunlardan ilki plate martensite (Plaka martensite)'dır. Plaka martensitenin; yüksek –C, yüksek –Ni ve yüksek –N'lu alaşımarda görüldüğü gibi ikili demir alaşımalarında da görüldüğü bilinmektedir (Osmond, 1895; Reed, 1967). İğne (lath) şeklinde bir morfolojik yapıya sahip olan martensite ise ikinci tip martensite morfoljisidir. Bu yapının özelliği iğne şekline benzemesinden dolayı bu adı almıştır. Daha önce yapılan çalışmalarda çeliklerde ve Fe-C alaşımalarında oluşan iğne martensiterde iç ikizlenmelerin olduğu görülmüştür ve bunlar üzerinde incelemeler yapılmıştır (Marder ve ark., 1967; Kelly ve ark., 1960). Fakat yapılan deneyler göstermiştir ki bazı alaşımarda iç ikizlenmelerin olmadığı tespit edilmiştir. Örneğin Fe-V, Fe-W,

Fe-Sn, Fe-Mn ve Fe-Mo合金larının iğne martensitelerinde iç ikizlenmelere rastlanmamıştır. İğne martensitelerin iç yapısında yoğun dislokasyonlar mevcuttur (Speich, 1969).

Yoğun dislokasyona sahip olan iğne martensite morfolojilerine Speich'in yaptığı birçok deneysel çalışmalar örnek olarak verilebilir (Osmond, 1895). Alaşımın kompozisyonunun ve dönüşüm sıcaklığının etkisi ile çok sayıdaki ikili demir合金larının iğne martensiteden plate martensiteye geçişin olabileceği görülmüştür (Förster ve ark., 1940). Yapılan incelemelerde görülmüşür ki; Alaşımın cinsine bağlı olarak martensite kristalleri farklı martensite yapıda olabilir. Bu yapılar; ince plate martensite (thin plate martensite), kama martensite (wedgemartensite), mercimek martensite (lenticuler martensite), iğne martensite (lath martensite), kelebek martensite (butterfly martensite), sıkı martensite (compact martensite) ve buna benzer şekillerde oluşabilir (Maki, 1990; Callister, 2003).

Çalışmamızı temel olacağını düşündüğümüz martensite yapının morfolojisini açıklayabilmek amacıyla önce Fe-Ni合金larında gözlenen martensite morfolojisinin yanı sıra C çeliklerinde N çeliklerinde ve合金çeliklerinde oluşan martensitenin morfolojisinden bahsetmek uygun olacaktır.

Förster ve Scheil (1940) Fe-Ni合金ında martensite dönüşümü osiloskop ile yaptıkları incelemede elektriksel direnç değişimini ve oluşan martensitelerin morfolojisini ile dönüşüm hızı arasında bir ilişki olduğunu düşünerek iki tip martensitenin olduğunu belirlemiştir. Förster ve Scheil'in incelemeleri göstermiştir ki bu martensite oluşumunun birincisi hızlı ikincisi ise daha yavaş olmuştur. Hızlı olan oluşum mekanik ikizlenmeye benzerliğinden dolayı "umklapp dönüşüm" olarak adlandırılmıştır. Yavaş oluşan dönüşüm ise kayma deformasyonuna benzerliğinden dolayı "schubung dönüşüm" olarak adlandırılır (Reed, 1967). Başka bir araştırmayı incelediğimizde Honma ve arkadaşları (1957)'nın %2-%35Ni'li demir合金larının seri haldeki kompozisyonlarını çalışmışlardır. Bu çalışmada austenite martensite dönüşümünde iki farklı morfoloji belirlemiştir. Bulduğumuz ortam sıcaklığından daha yüksek olan  $M_s$  sıcaklığında ve düşük Ni yoğunluğunda "massive martensite" morfolojisinin ortaya çıktığı görülmüştür. Alaşımın Ni oranının artırılması ilede oluşan martensite-

nin ise plaka şekilli (plate martensite) ya da iğne şekilli (lath martensite) morfolojiye sahip olduğunu gözlemlenmiştir. Bu durum göstermektedir ki ortam sıcaklığından daha yüksek sıcaklıkta veya alaşım oranlarının artırılmasıyla austenite- martensite fazın morfolojisinin değiştiği görüldü (Honma, 1957). Oda sıcaklığının üstünde dönüşüm morfolojisi değiştiği gibi  $M_s$  sıcaklığı oda sıcaklığının altında ise ve %30'dan fazla Ni içeren alaşımlarda da mercimek (lenticular) ya da bambu yaprağı (bamboo leaf) morfolojisinde olduğunu gözlemlenmiştir. C çeliklerinde yapılan incelemelerde C içeriğine göre martensitenin morfolojisinin değiştiği görülmüştür. Çok yüksek sıcaklıklardan hızlı bir şekilde soğutulan çeliğin martensite ürün yapısının kaba olduğu görülür. Optik mikroskopla yapılan incelemede yapının kristallerinin farklı şekillerde görülebildiği çalışılmıştır. C çeliği alaşımında düşük oranda bulunuyorsa martensitede kristallerin iğne (lath) yapılı ortaya çıktığı görülmüştür. Orta ve yüksek C çeliklerinde bambu yaprakları (bamboo leaf) ve mercimek (lenticular) şeklinde olduğu görülmüştür (Nishiyama, 1978). İncelemeler göstermektedir ki alaşima farklı özel bir element eklenmesi, dönüşüm sıcaklığının değişmesine neden olacağından oluşan martensite kristallerinin morfolojisinde de farklılıklar görülür (Nishiyama, 1978). Fe-Ni-C içeren alaşımın kompozisyonunun etkisini görmek için Further, Klastermann ve Burgers (Klostermann ve ark., 1964) tarafından yapılan Fe- %30Ni-%0,04C alaşımı incelenmiş ve plaka (plate) yüzey martensitelerinin olduğu görülmüştür. Martensite morfolojisinin alaşımın termal etkisinede bağlı olduğunu göstermek için çalışmalar yapılmıştır. Bu çalışmalardan biriside Tamura ve arkadaşları tarafından yapılmıştır. Tamura ve arkadaşları (1971) Fe- %31Ni-%0,28C alaşımının termal davranışlarına bağlı olarak değişen morfolojilerini incelemişler ve  $M_s$  sıcaklığı -81°C de olan ve bölgesel ikizlenmelere sahip mercimek (lenticular) şeklinde ortaya çıkan martensite kristallerinin olduğunu görmüşlerdir.  $M_s$  sıcaklığının -171°C olduğu durumda ise ince plaka (thin) şeklinde olduğu görülmüştür (Maki ve ark., 1972). Hatta Fe-C ve Fe-Ni alaşımlarına farklı özel elementlerin eklenmesi sonucunda eklenen elementin miktarı çok büyük olmadığı sürece yapıda belirgin değişiklikler görülmeyeceğini Nishiyama belirtmiştir (Nishiyama, 1978).

### **3. DENEYSEL MATERYAL VE YÖNTEM**

Bu bölümde; alaşımın Taramalı Elektron Mikroskopu (SEM) ve Titreşimli Örnek Magnetometresi (VSM) incelemeleri için hazırlanma aşamaları ile kullanılan sistemler hakkında da genel bilgiler verilmiştir.

#### **3.1. Yöntem**

Bu kısımda; Taramalı Elektron Mikroskopu (SEM) ve titreşimli örnek magnetometresi (Vibrating Sample Magnetometer, VSM) teknikleri, genel anlamda bu sistemlerle ne tür çalışmaların yapılabileceği ve sözü geçen sistemlerin çalışma prensipleri hakkında genel bilgiler verilmiştir.

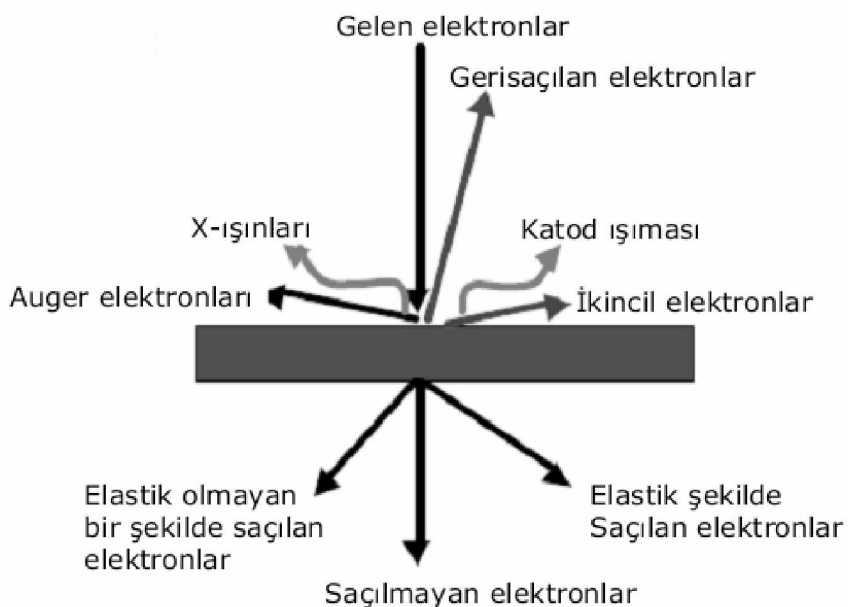
##### **3.1.1. Taramalı Elektron Mikroskop (SEM) Hakkında Genel Bilgiler**

Tarihte ilk olarak McMullan tarafından SEM hakkında bilgi aktarılmıştır. Hans Busch tarafından ilk elektromanyetik lens 1926'da geliştirildi. 1931 yılına kadar birçok başarısız denemelerin ardından Alman fizikçi Ernst Ruska ve elektrik mühendisi Max Knoll X400 büyütme gücüne sahip bir elektron mikroskopu prototipi oluşturular.

Elektron mikroskopunun temel prensipleri bu cihaz ile ortaya çıktı. Ruska 1933'te ışık mikroskopu ile elde edilebilen çözünürlüğü aşan bir elektron mikroskopu üretti. Knollse elektron demeti taraması kullanarak 50 mm objektif alan genişliğine sahip, kanallama kontrastı gösteren bir fotoğraf çekti. Tüm bu gelişmelerin ardından, 1937'de, Manfred von Ardenne, daraltılmış ve iyi odaklanmış bir elektron demeti ile çok küçük bir alanı tarayarak, yüksek çözünürlüklü gerçek bir taramalı elektron mikroskopu icat etmeyi başardı.

Manfred Von Ardenne çalışmalarında hem yüksek büyütmeye ulaşmak için hem de elektron mikroskopunun doğasında bulunan kromatik sapıncı engellemek için tarama prensibini uygulamıştır. Ayrıca SEM teorisi ile ilgili çalışmalar ve farklı görüntüleme metodları için bu uygulamayı kullanmıştır. Zworykin grubu ve Charles Oatley

yönetimindeki Cambridge grubu tarafından SEM cihazları yıllar içinde geliştirilmeye devam etmiştir. İlk "Stereoscan" adı verilen ticari cihaz olarak 1965 yılında Cambridge Scientific Instrument Company tarafından DuPont firmasına satılmıştır (Anonim, 1997).



**Şekil 3.1.** Elektron-numune etkileşmesi sonucu oluşan ışınlar ve elektronlar

Şekil 3.1'deki Elektron-numune etkileşmesi ile ortaya çıkan ışınlar X ışınları, Katot Işımı, Auger Elektronları, Birincil Geri Saçilan Elektronlar, İkincil Elektronları açıklayacak olursak;

X ışınları: Numune atomları hakkında bilgi verir.

Katot Işımı: Numune atomlarının geçişleri sonucunda oluşan ışınlar valans (dış kabuk) elektronlarıdır.

Auger Elektronları: Numunenin iç kabuklarından gelen elektronlardır.

Birincil Geri Saçilan Elektronlar: Elektron demetine ait elektronlardır, numunenin yüzey yapısı ve atomları ile ilgili bilgi verir.

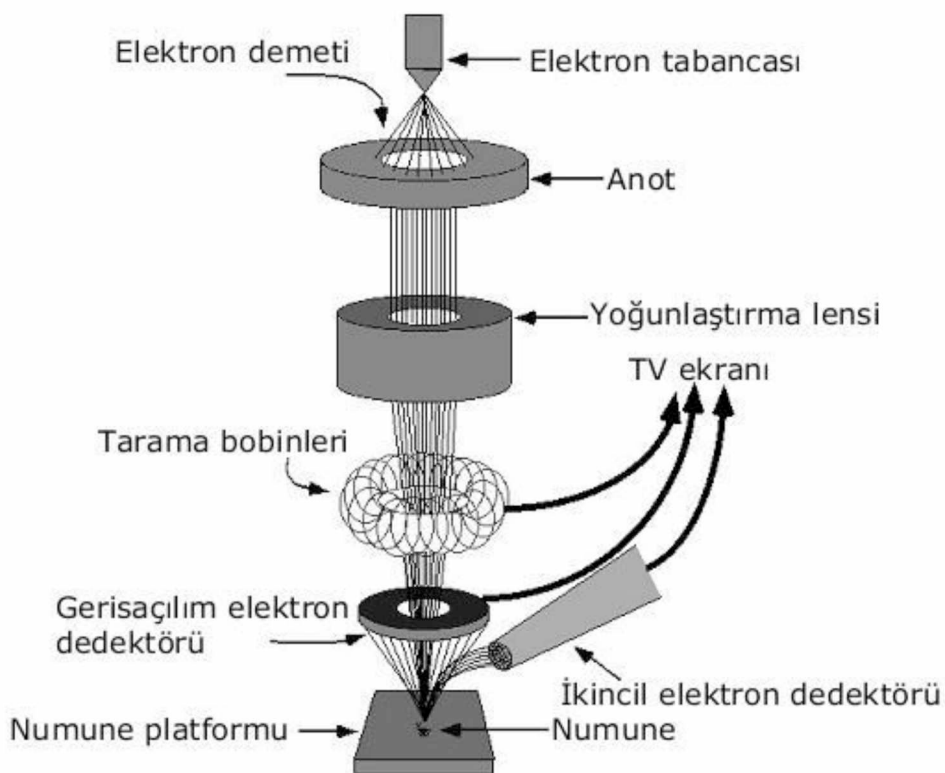
**İkincil Elektronlar:** Numune atomlarından gelen elektronlardır, numune yüzeyi hakkında bilgi verir.

Böylece incelenen malzemenin yüzeyi hakkında bilgi edinilir (Akay, 2013). Doğal kaynakların morfolojisini ve mineralojisini araştırmak için kullanılırlar. Yani malzemenin yapı ve biçimini incelemek, özel fiziksel özelliklerini araştırmak, mineralerin geometrik şekillerini, iç yapılarını, fiziksel-kimyasal özelliklerini ve bunlar arasındaki ilişkileri ve yasaları, ayrıca endüstriyel kullanımlarını ve uygulamalarını inclemek için kullanılır. Taş ya da minerallerin kimyasal kompozisyonunun saptanması, imal edilen bileşenlerin rutin analizler sonucunda kalite standartlarına ve dayanıklılık gereksinimlerine uyup uymadığının araştırılması, malzemelerin sahip olduğu kusurların ve aşınma özelliklerinin saptanması, ateşli silah artıkları gibi kriminal kanıtların incelenmesi ve toksikoloji, ilaç bileşenlerinin parçacık boyutu ve morfolojisinin incelenmesi, malzemelerin yüzey özellikleri, korozyon dayanımları, kaplama kalınlığı, parçacık boyutu ve morfolojisi gibi özelliklerin belirlenmesinde kullanılır (Anonim, 1997).

Numune atomlarının dış yörüngे elektronları ile yüksek enerjili demet elektronları elastik olmayan bir çarpışma sonucunda düşük enerjili Auger elektronlarını oluşturur. Auger elektronları kullanılan numune yüzeyi hakkında bilgi taşır ve Auger Spektroskopisinin (bir atomun, aynı atom arasında bir elektron emisyon ile atomdaki boşlukları doldurması olayı) çalışma prensibini oluşturur (Anonim, 1997). Yine yörüngelerinden atılan veya enerjisi azalan elektron demetleri yörüngे elektronları ile olan girişimler sonucunda numune yüzeyine doğru hareket ederek numunenin yüzeyinde toplanmaya başlar. Bu elektronlar ise “ikincil elektron” olarak tanımlanır.

İkincil elektronlar numune odasında bulunan ve bir yüklü parçacık uyarılmasında gözle görünür ışık yayan kristal veya maddeler olarak binen sintilatörde toplanarak ikincil elektron görüntüsü sinyaline dönüşür. İkincil elektronlar numune yüzeyinin 10 nm veya daha düşük derinlikten geldiği için numunenin yüksek çözünürlüğe sahip topografik görüntüsünün elde edilmesinde kullanılır (Anonim, 1997). Elektron demeti numuneye çarptığında elektronlar ve ışınlar (radyasyon) yayar (Erkoç, 2010). Bi-

rincil elektronların numuneye çarpması ile numune yüzeyinden fırlatılan ikincil elektronlar bir dedektör yardımıyla toplanır. İkincil elektronlardan gelen sinyaller bir bilgisayar ekranına aktarılır (Ocak, 2003).



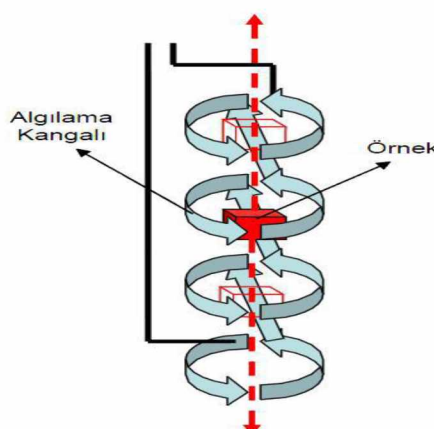
**Şekil 3.2.** Elektron-numune etkileşmesi. (Akay, 2013)

Numune yüzeyinde çıkışlı bölgelerde daha çok sayıda ikincil elektronlar saçıldığından bu bölgeler açık, numunenin daha derinde bulunan bölgeleri ise koyu olarak görülür. Taramalı Elektron Mikroskopu (SEM)'nda odaklanma derinliğinin büyük olması kırılma yüzeylerini incelemeye ve yüzey ile ilgili başka ayrıntıları incelemeye de oldukça elverişlidir (Ocak, 2003).

Bu cihazın diğer kullanım alanları ise; malzeme bilimi, kimya ve eczacılık, adli tıp, jeoloji, diş hekimliği, inşaat sektörleri gibi geniş bir kullanım alanı mevcuttur (Anonim, 1997).

### 3.1.2. Titreşimli örnek magnetometresi (VSM)

Malzemelerin manyetik ölçümleri, en az elektriksel ve kristalografik ölçümleri kadar önemlidir (Emen, 2005). Dışarıdan uygulanan manyetik alana karşı tüm malzemeler tepki vermektedir. Uygulanan bu manyetik alan malzeme içerisinde bir manyetizasyona sebep olmaktadır. Malzemenin susebtibilitesi olarak bilinen bu durum malzemeye uygulanan alana karşı göstermiş olduğu duyarlılıkla ilgilidir (Bulun, 2010). Duyarlılığın ölçüsüne malzemenin manyetik duygululuğu denmektedir. Yani manyetizasyonun, uygulanan alana göre değişim hızı  $dM/dH$ , malzemenin duyarlılığının yani uygunluğunun bir ölçüsüdür. Bu durumda dışardan uygulanan alanın malzeme de manyetizasyonun oluşumuna neden olduğunu söyleyebiliriz. Dışarıdan uygulanan manyetik alanın hangi sıcaklıkta gerçekleştiğide önem taşımaktadır. Kritik T sıcaklığının altında ve üstünde malzeme farklı özelliklere sahiptir ve bu T sıcaklığı faz dönüşümünün olduğu sıcaklıktır (Emen, 2005). Titreşimli örnek magnetometresi (VSM) ile incelenen malzemenin manyetik karekterini ortaya koyan manyetizasyon eğrisi deneyel olarak elde edilmektedir. VSM, Forner tarafından geliştirilen elektromanyetik induksiyon prensibine göre çalışmaktadır. Manyetik akı değişiminin induklanan elektromotor kuvveti (e.m.k.)' ne eşit olduğu kabul edilerek açıklanan elektromanyetik induksiyon bu metoda örnek sabit manyetik alan içerisinde titreştilir. Manyetik alan içerisinde titreşikli örnek içerisindeki manyetik momentler titreşimin frekansına paralel olarak salınırlar. Bu titreşimlerin sonucunda algılama bobinle rinde titreşimle orantılı bir gerilim induklanır. (Şekil 3.3)



**Şekil 3.3.** VSM sisteminde manyetik algılama yapısı

Faz kilitlemeli yükselteç (lock-in amplifier) kullanılarak indüklenen gerilim ölçülmektedir. Ölçüm sonucunda yalnızca titreşim frekansıyla aynı frekansa sahip gerilim okunmaktadır. Okunan bu gerilimin değeri bilinen bir malzeme ile kalibre edilmesi suretiyle örneklerin manyetizasyonu belirlenebilir (Bulun, 2010).

Örnek tutucunun istenen açılarla döndürülmesi ile farklı yönlerde uygulanan manyetik alan altında ölçüm yapılarak, istenen değerler arasında istenen aralıklarla uygulanan manyetik alana karşı ölçülen manyetik moment değerleri ile örneğin histerisis eğrisi elde edilmektedir (Bulun, 2010).



**Şekil 3.4.** Quantum Design PPMS-9t titreşimli örnek magnetometresi (sample magnetometer, VSM)

## **4. ARAŞTIRMA SONUÇLARI VE TARTIŞMA**

### **4.1. Numunelerin Hazırlanması**

Fe-%27Ni-%4Mn-%1Zn合金, Gebze Teknik Üniversitesi Malzeme Bilimi ve Mühendisliği Bölümünde Fe, Ni, Mn ve Zn elementleri %99,9 saflık derecesinde toz halinde bulunan bu elementler bir araya getirilip yüksek sıcaklıkta eritilerek 1 cm çapında, 10 cm uzunluğunda silindirik çubuklar halinde dökülmüştür. Oluşan合金 kompozisyonu, IXRF sistemi kullanılarak EDS (Elektron Dispersion Spectroscopy) tekniği ile Fe-%27Ni-%4Mn-%1Zn (% ağırlık) şeklinde tespit edildi. Silindirik çubuk şeklindeki合金, CNC torna tezgahında elmas bıçaklı kesicilerle uygun boyutta kesilerek (5mm kalınlığında 1cm çapında diskler şeklinde) hazırlanan numune ısıl işlem sırasında, yüksek sıcaklıklarda malzemeden oksitlenmeyi önlemek amacıyla yüksek sıcaklıklara dayanabilen kuartz cam tüpler içine konuldu ve daha sonra ısıl işlem uygulandı.

#### **4.1.1. SEM İncelemeleri İçin Numunelerin Hazırlanması**

Fe- %27Ni- %4Mn- %1Zn合金inden uygun boyutlarda elde edilen örnek SEM incelemeleri için, 1100 °C'de 12 saat ısıl işleme tabi tutularak oda sıcaklığındaki suda soğutuldu. Daha sonra 500, 800, 1200 ve 2400 kalınlıklarındaki su zımparaları ile yüzey pürüzsüzleştirilip 6, 3 ve 1'lik elmas pastaları ile yüzey mekanik olarak parlatılmıştır. Ardından yüzeyde oluşan tane sınırlarını, kristal yapılarını gözlemlenmemek için %3 nital (%3 Nitrik asit, %97 Metanol) çözeltisi içerisinde dağlama yapılarak ve sıvı azot (-196°C) içerisinde 5 saniye bekletilerek yüzey incelemeleri Taramalı Elektron Mikroskopu (SEM) ile yapılmıştır.

#### **4.1.2. VSM Ölçümleri İçin Numune Hazırlanması**

Fe-%27Ni-%4Mn-%1Zn合金inden elde edilen numunelerin Miknatışlanması Uygulanan Alan (M-H) ölçümleri Quantum Design PPMS-9t titreşimli örnek magnetometresi (vibrating sample magnetometer, VSM) kullanılarak alındı. Alloyların M-H ölçümleri -10 ile +10 Tesla manyetik alan değerleri arasında 300 K'de yapıldı.

Sıcaklığa bağlı mıknatıslanma (M-T) ölçümleri 0.499 kOe sabit manyetik alanda yapıldı.

#### **4.2. Araştırma Bulguları**

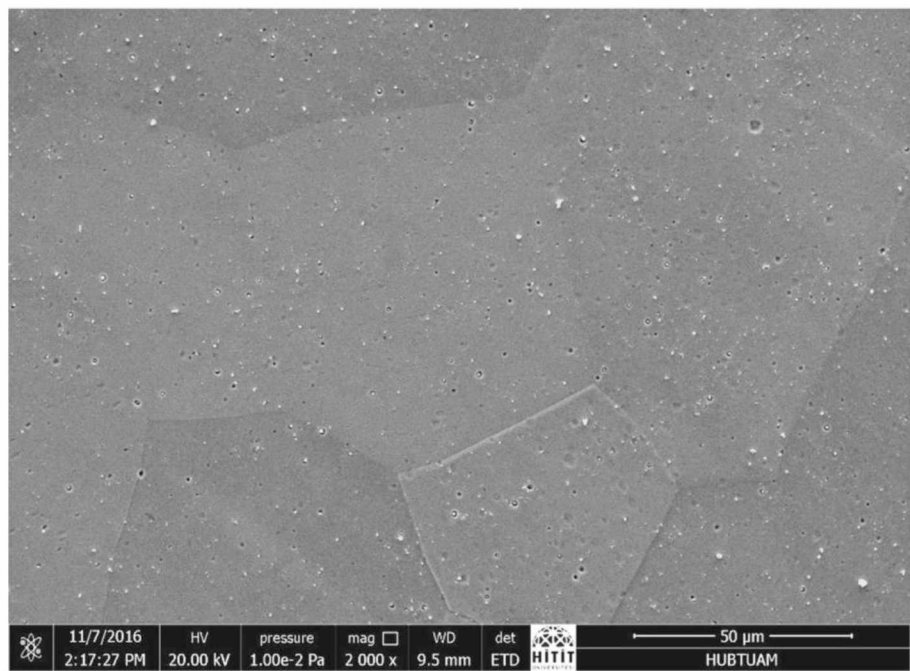
1500 °C civarında Fe-alaşımları ergir. Oda sıcaklığına soğutulurken yaklaşık 900 °C civarında yüz merkezli kübik (f.c.c.) yapıda kristalleşir. Oluşan bu faza austenite adı verilir. Austenite fazdaki alaşım dışardan uygulanan fiziksel etkenler sebebi ile hacim merkezli tetragonal (b.c.t.), sıkı paketlenmiş hekzagonal (h.c.p.) veya hacim merkezli kübik (b.c.c.) kristal yapıya dönüşebilir. Alaşımın bu fazına ise martensite faz adı verilir (Nishiyama, 1978).

Bu çalışmada kullanılan Fe-%27Ni-%4Mn-%1Zn alaşımı, 1100 °C'de 12 saat ısıl işlem gördükten sonra fırın içerisinde alınanarak oda sıcaklığındaki suya atılarak soğutuldu. Ortaya çıkan faz dönüşümlerinin yapısal özellikleri SEM, oluşan fazların magnetik özellikleri VSM teknigi ile incelenmiştir.

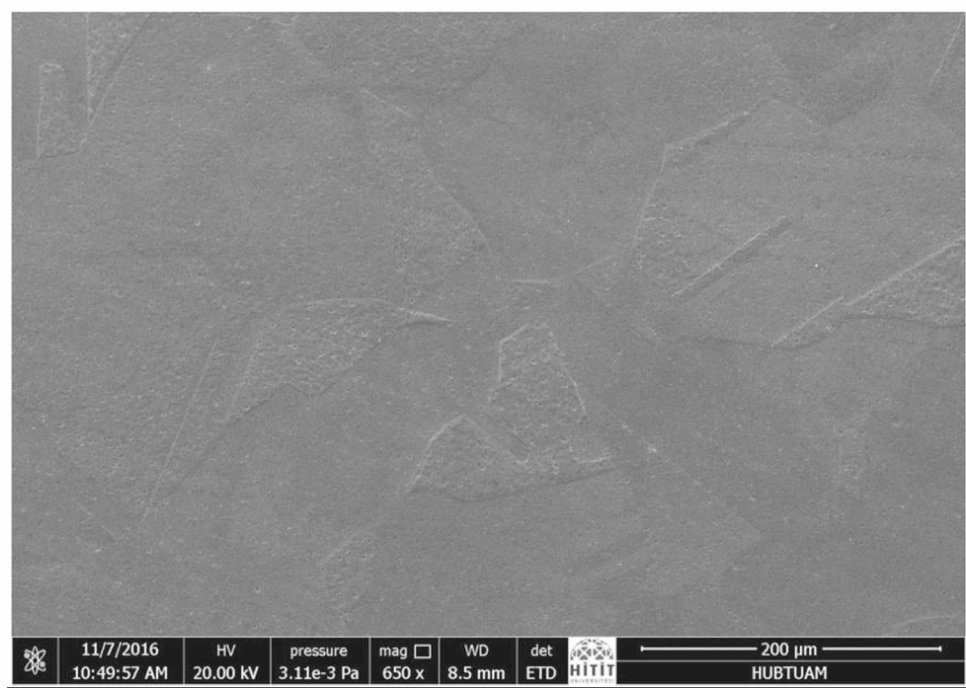
##### **4.2.1. SEM Gözlemleri**

Fe-27%Ni-%4Mn-%1Zn alaşımı, argon atmosferinde, saf (% 99.9) alaşım elemanlarından Fe, Ni, Mn ve Zn elementleri kullanılarak, induksiyonla eritilerek hazırlandı. Elde edilen alaşımdan kesilen örnek 1100 °C' de 12 saat ısıl işleme tabi tutularak homojen hale getirildi ve daha sonra oda sıcaklığında su içine soğutuldu. Alaşımın SEM görüntüsü şekil 4.1'de verilmiştir. Fotoğrafta austenite taneleri ve tane sınırları açıkça görülmektedir. Ayrıca her tane farklı tonlarda meydana gelmiştir. Bu sonuç her tanedeki atomik yönelimin farklı olmasından kaynaklanmaktadır (Askeland, 2001). Alaşında termal yol ile martensite elde etmek için elde edilen örnek sıvı azot (-196 °C) içine daldırılmıştır. Bu işlem sonucunda elde edilen SEM görüntüsü Şekil 4.2'de verilmiştir. Fotoğrafta açıkça martensite plakaları görülmektedir.

Şekil 4.2 incelediğinde, Fe-27% Ni-%4 Mn 1 % Zn alaşımında termal etkiyle oluşturulan martensite yapının "lath martensite" morfolojisine uygun yapı sergilediği görülmüştür.



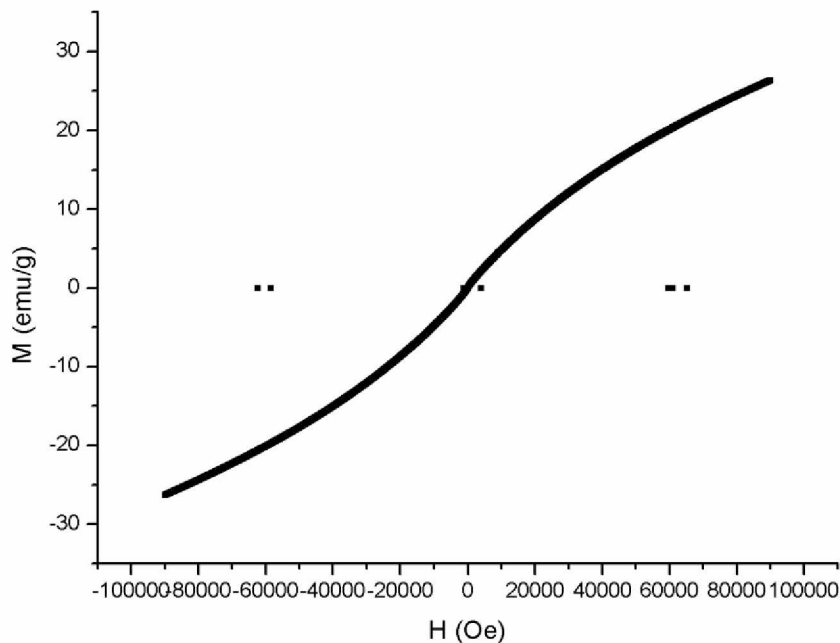
Şekil 4.1. Fe-27%Ni-4%Mn-1%Zn合金中观察到的奥氏体组织。



Şekil 4.2. Fe-27%Ni-4%Mn-1%Zn合金中热处理形成的马氏体组织。

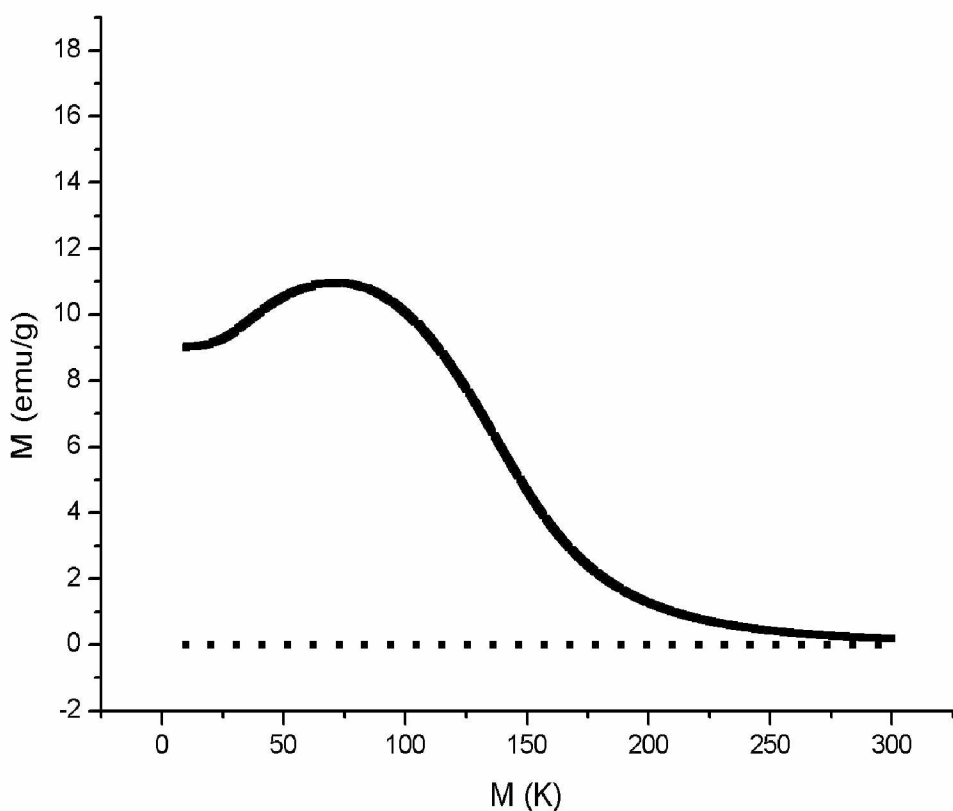
#### 4.2.2. VSM Ölçümleri

Fe-27%Ni-% 4Mn% 1Zn alaşımında termal etki sonucu oluşan martensit yapının manyetik özelliklerini gözlemlerek için alaşımından elde edilen numunenin uygulanan manyetik alana karşı manyetizasyondaki değişikliği (M-H) ölçümleri Quantum Design PPMS-9t titreşimli örnek magnetometresi (vibrating sample magnetometer, VSM) kullanılarak alındı. Mıknatıslanma-Uygulanan Alan (M-H) ölçümleri -10 ile 10 T alan değerleri arasında 300 K'de alındı. Şekil 4.3'de oda sıcaklığında alınan numunenin uygulanan manyetik alana karşı manyetizasyondaki değişikliği göstermektedir. Numunenin Mıknatıslanma-Uygulanan Alan (M-H) eğrisinden ferromagnetik bir davranış meydana geldiği bulunmuştur. Numunenin doyum mıknatıslanma değeri yaklaşık 21 emu/g bulundu. Ayrıca örneğin M-H eğrisinden elde edilen diğer bir sonuçta zorlayıcı alan değeridir. Bu değer yaklaşık 36 Oe olarak elde edilmiştir.



**Şekil 4.3.** Fe-27% Ni-4% Mn-1% Zn Alaşımından elde edilen martensite yapının Mıknatıslanma-Uygulanan Alan (M-H) Eğrisi.

Birçok manyetik malzemede, tane ve yapı kusurları içeren mikroyapı; zorlayıcı alan ve doyum mıknatıslanması gibi özellikleri maksimum değere ulaştırmada kritik bir rol oynamaktadır (Chaturvedi ve ark., 2014; Lucis ve ark., 2014).



**Şekil 4.4.** Fe-27% Ni-%4 Mn-%1 Zn alaşımından elde edilen martensite yapıya ait (M-T) grafiği.

Şekil 4.4. Örneğin sabit manyetik alan 0.499 kOe'de alınan sıcaklığa bağlı (M-T) grafiğini göstermektedir. Grafik incelendiğinde; yaklaşık 201 K sıcaklığında net bir azalma gözlenmiştir. Bu sıcaklık numunenin ferromagnetik davranıştan çıkış paramagnetik davranış sergilediği Curie sıcaklığıdır.

## 5. SONUÇLAR

Bu çalışmada Fe-27% Ni-%4 Mn%1 Zn alaşımında termal etki ile oluşturulan faz dönüşümlerinin; morfolojik ve manyetik özelliklerini çeşitli tekniklerle incelenmiştir. Farklı kompozisyonlardaki demir bazlı alaşımlarda, martensite oluşumu üzerine birçok çalışmalar yapılmıştır. Yapılan çalışmalarda martensitik faz dönüşümünün yapısal özellikleri, kristolografik ve bazı fiziksel özellikleri alaşım kompozisyonu ve uygulanan ısıl işlemlere göre farklılık meydana getirir. Demir-bazlı alaşımlarda termal etki ile hem atermal hemde martensitik dönüşümler sergilenir. Çalışmamızda 1100°C'de 12 saat ısıl işlem uygulanmış ve oda sıcaklığındaki suya atılarak soğutulan örneğin austenite fazda olduğu görülmüştür. Diğer taraftan ise 5 s süreyle sıvı azotta termal etkiye maruz bırakılan bu austenite yapıya sahip örneğin içerisinde martensite fazın olduğu SEM incelemeleri ile belirlenmiştir. Termal etki, manyetik alan, deformasyon gibi değişik dış fiziksel etkilere uğrayarak ana fazdaki austenite yapıdaki alaşımların kristal yapısında değişimler gözlenmektedir. Bu değişimler genellikle mercimek (lenticular), çubuk (lath), plaka (plate), ince plaka (thin plate) ve kelebek (butterfly) şeklinde olmaktadır. Yüzey ve kristolografik incelemeler sonucunda bu martensite yapının "lath" martensite morfolojisine uygun yapı sergilediği görülmüştür. Ayrıca Fe-27% Ni-%4 Mn%1 Zn alaşımına uygulanan ısıl işlemler ve dış fiziksel etkilerle yapının atermal dönüşüm kinetiği gösterdiği sonucuna varılmıştır.

Manyetik ölçümler sonucunda, Fe-27%Ni-% 4Mn% 1Zn alaşımından termal etki sonucu oluşturulan martensite yapının manyetik özelliklerini belirlemek için martensite fazdaki numunenin uygulanan manyetik alana karşı manyetizasyondaki değişikliği (M-H) ölçümleri ve sıcaklığa bağlı alınan manyetizasyon (M-T) ölçümleri Quantum Design PPMS-9T titreşimli örnek magnetometresi (vibrating sample magnetometer, VSM) kullanılarak alındı. VSM ölçümlerinden Fe-27%Ni-% 4Mn%1Zn alaşımının ferromagnetik bir davranış sergilediği bulunmuştur. Bu ölçümlerden doyum mıknatışlanma değeri yaklaşık 21 emu/g bulundu. Ayrıca örneğin M-H eğrisinden zorlayıcı alan değeri yaklaşık 36 Oe olarak elde edildi. Ayrıca Fe-27%Ni-%4Mn%1Zn alaşımının sabit manyetik alan 0.499 kOe' de alınan sıcaklığı bağlı (M-T) grafiğinden Curie sıcaklığı yaklaşık 201 K olarak belirlendi.

Bu tez çalışmasına konu olan合金, Fe-27%Ni-%4Mn%1Zn合金ının uygulanan etki sonucunda martensitik faz dönüşümü sergilediği görülmüş ve oluşan martensite fazın manyetik ve yapısal özellikleri geniş çapta belirlenmiştir. Bu özellikler göz önüne alınarak ya da geliştirilerek daha iyi malzemeler tasarlanıp, teknolojiye ve bilime katkı sağlanabilir. Bu tez çalışmasının orijinalligi literatürde Fe, Ni, Mn elementlerine Zn elementinin etkisi hatta bu etkinin ortaya çıkardığı sonuçlardır. İlerleyen çalışmalarında gerek dördüncü element olarak Zn elementinin yüzdeleri değiştirilebilir ya da Zn elementi yerine farklı türdeki (Cr, Mo, V) gibi dördüncü合金lama elementi ile çalışma genişletilebilir. Isı işlem koşulları değiştirilerek yani 1000 °C'de 48 saat bekletilerek, sıvı azotta soğutularak değişik etkiler incelenebilir.

## KAYNAKLAR

- Akay M. S., 2013. Fe-%30Ni-%2.6Mo-%XCo Alaşımlarında Martensitik Faz Dönüşümlerinin Fiziksel Özelliklerinin İncelenmesi. Y. Lisans Tezi, Kırıkkale Üniversitesi Fen Bilimleri Enstitüsü, Kırıkkale.
- Akgün, I., Gedikoğlu, A. ve Durlu, T. N., 1982. Mössbauer study of martensitic transformations in an Fe-29.6% Ni alloy. Journal of Material Science. 17, 3479-3483.
- Amar K. DE., David C. Murdock, Martin C. Matarya, John G. Speer and David K., 2004. Quantitative measurement of deformation-induced martensite in 304 stainless steel by X-ray diffraction. Scripta Materialia, p 1444-1449.
- Anonim, 1997. Makine Teknolojileri Kulübü. [www.orkam.yildiz.edu.tr/MAKTEK\\_tanitim](http://www.orkam.yildiz.edu.tr/MAKTEK_tanitim) 2018. pdf (03.04.2017)
- Anonim, 2012. Malzeme Bilgisi, RÜ. Faz Diyagramları, [https://rahmiunal.net/dersler/malzeme/mb\\_07\\_fazlar.pdf](https://rahmiunal.net/dersler/malzeme/mb_07_fazlar.pdf) (04.05.2017)
- Anonim, 2018. Los Alamos National Laboratory – Demir (İng.) <https://tr.wikipedia.org/wiki/Demir> (25.03.2017).
- Askeland Donald R. 2001. Malzeme Bilimi ve Mühendislik Malzemeleri, Nobel Yayınları, Ankara.
- Aydoğdu, A., 1995. Şekil Hatırlamalı Cu- Al-Ni Alaşımlarındaki Martensitik Dönüşüler Üzerinde Termal Yaşılandırma Etkileri, Doktora Tezi, Fırat Üniversitesi Fen Bilimleri Enstitüsü, Elâzığ.
- Bancroft, G. M., 1973. An Introduction For Inorganic Chemist and Geochemist, McGraw-Hill Book Company, London.
- Bargel, H. J., Schulze, G., 1993. Malzeme Bilgisi, Cilt 1 Metal Malzemelere Genel Giriş, İstanbul Teknik Üniversitesi, İstanbul.
- Baydur, G., 1999. Malzeme, 11.Baskı, M.E.B. Basımevi, İstanbul.
- Bowles, J. S. and Wayman, C. M., 1972. Met. Trans., 3, 1113.
- Bulun, G., 2010. 3d- Geçiş Metali Ni Katkılı Zn<sub>1-x</sub>Ni<sub>x</sub>O ve 4f-Lantanit Gd Katkılı Zn<sub>1-x</sub>Gd<sub>x</sub>O Bileşiklerinin Yapısal ve Manyetik Özellikleri, Doktora Tezi, Çukurova Üniversitesi Fen Bilimleri Enstitüsü, Adana.

- Bunshah R.F., Mehl, R.F., 1953. Rate of propagation of martensite. Transactions of the Metallurgical Society of AIME, Journal of Metals, 197, 1251.
- Callister, J. W. D., 2003. Materials Science and Engineering: An Introduction, 6th Edition, John Wiley and Sons Inc.
- Callister, Willam D. Jr., 2007. Materials Science and Engineering: An Introduction. (İngilizce).
- Cottrell, C. L. M., 1954. J. Iron Steel Inst. 176, 269.
- Chaturvedi, A., Yaqub, R., Baker, I., 2014. Microstructure and Magnetic Properties of Bulk Nanocrystalline MnAl. J. Phys. Cond. Matter 26, 064201.
- Christian J.W., 1975. The Theory of Transformations in Metals and Alloys, Pergamon Press, London.
- Christion, J. W., 1966. "The Mechanism of Phase Transformations in Crystalline Solid" Londan, 129.
- Christion, J.W., 1965. Journal of IMs. Metals, 84, 386 .
- Christion, J.W., 1965. The Theory of Transformations in Metals and Alloys, I. Edition, Pergamon Press, Oxford.
- Clapp, P. C., 1985. Proceedings ICOMAT 95, C.8-11, Lausenne.
- Cotes S. M., Cabrera A.F., Damonte L.C., Mercader R.C., Desimoni J., 2002. PhysicaB: Condensed Matter, 320, 274.
- Cullity, B. D., Çeviren; Ali Sümer, 1966. İstanbul Teknik Üniversitesi Matbaası, İstanbul.
- Davies, R. G. and Magee, C. L., 1971. Met. Trans., 2, 1939-1947.
- Durlu T.N., 1992. J. Mater. Sci. Lett. 11, 702.
- Durlu, T. N., 1989. Katıhal Fiziğine Giriş, Ankara Üniversitesi Fen Fakültesi Fizik Bölümü.
- Durlu, T. N., 2001. Fırat Üniversitesi Fen ve Müh. Bilimleri Dergisi 13(1), 1.

- Durlu, T.N., 1991. Metal Fiziğine Giriş, Ders Notu, Ankara Üniversitesi Fen Fakültesi Fizik Bölümü, Ankara.
- Emen, F., 2005. +3 değerli demir ve nikel iyonları içeren  $\text{LiFe}_1-\text{Ni}_x\text{O}_2$  bileşiklerinin manyetik özellikleri, Yüksek Lisans Tezi, Çukurova Üniversitesi Fen Bilimleri Enstitüsü Fizik Anabilim Dalı, Adana.
- Erkoç \$., Ocak 2010. <https://www.scribd.com/document>. Nanobilim ve nanoteknoloji.
- Förster, F. and Scheil, E., 1940. Untersuhung des Zeitlichen Ablaufes von Umklappvorgangen in Metallen. 2. Metalkunde, 32, 165.
- Gall K., Sehitoglu H., Maier H. J. and Jacobus K., 1998. Stress-induced martensitic phase transformations in polycrystalline CuZnAl shape memory alloys under different stress states. Metall. Mater. Trans. A, 29A, 765.
- Georgiyeva, I. Ya., Izotov, V. I., Nikitina, I. I., Khandarov, P. A., 1969. Structural Singularities of Athermic and Isothermic Martensite in an Fe-Ni-Mo Alloy, Fiz. Metal. Metalloved, 27, 6, 1129-1130.
- Georgiyeva, I. Ya., Izotov, V. I., Utevskiy, L. M. ve Khandarov, P. A., 1971. Structural and crystallographic characteristics of isothermal martensite in Fe-%24Ni-%3Mn alloys. Fiz. Metal. Metalloved, 32, 3, 623-631.
- Ghosh, G., Raghavan, V., 1986. Scripta Metall. Mater., 1986. Vol. 20, pp. 849–54
- Greninger, A. B. and Troiano, A. R., 1949. The Mechanism of Martensite Formation, Trans AIME 185, 590.
- Greninger, A. B. and Troino, A. R., 1940. Cristallography of Austenite Decomposition, Trans. AIME, 140, 307.
- Gruverman I. J., 1967. Mössbauer Effect Methodology, Vol 3, Plenum Press, New York.
- Guner, M., Akturk, S., Aktas H., 2004. Department of Physics, Science and Arts, Faculty of Kırıkkale University, Yahsihan 71450, Kırıkkale, Turkey.
- Güler, E., 2005. Fe-%29Ni-%2Mn Alaşımında Farklı Etkilerle Oluşan Martensitenin Bazı Fiziksel Özellikleri. Doktora Tezi, Kırıkkale Üniversitesi Fen Bilimleri Enstitüsü, Kırıkkale.

- Günay, E., 2000. Erciyes Üni. Müh. Fak. Elektrik-Elektronik Müh. Bölümü Ders Notları.
- Güler, M., 2006. Fe-%30 Ni-%5 Cu Alaşımında farklı etkilerle oluşan martensitenin bazı fiziksel özellikleri. Doktora Tezi. Kırıkkale Üniversitesi Fen Bilimleri Enstitüsü, Kırıkkale.
- Güngüneş H., 2005. Fe-%24.5Ni-%4.5Si Alaşımında Austenite Martensite Faz Dönüşümleri Üzerinde Çalışmalar, Doktora Tezi, Kırıkkale Üniversitesi Fen Bilimleri Enstitüsü, Kırıkkale.
- Gürü, H. ve Yalçın, M., 2002. Malzeme Bilgisi, Palme Yayıncılık, Ankara.
- Halliday, D., Resnick, R., 1923. (Cengiz Yalçın trans.), Fiziğin Temelleri.
- Hesse, J., Böttger, Ch., Wukfe, A., Sievert J. and Ahlers, H., 1993. Phsica Status Solidi 135, 343.
- Honma, T., 1957. J. Jpn. Inst. Met. 21, 122.
- Inagaki, H., Z., 1992. Shape Memory Effect of Fe-14%Mn-6%Si-9%Cr-6%Ni Alloy Polycrystal Metallkd. 83,90.
- Jiles, D., 1991. Introduction to Magnetism and Magnetic Materials 1st. Edition, Champmann and Hall, Londan.
- Jun, J.H., Kong, D.K., Choi, C.S., 1998. The influence of Co on damping capacity of Fe–Mn–Co alloys. Materials Research Bulletin Vol. 33, No. 10 1419–1425. Doi:10.1016/S0025-5408(98)00145-7.
- Kahveci N., 1997. İnhomojen Ortamdaki Elipsoidal Bölgelerin Esneklik Alanları ve Enerjileri, Doktora Tezi, Ondokuzmayıs Üniversitesi Fen Bilimleri Enstitüsü, Samsun.
- Kajiwara, S., 1984. Acta Metall., 32, No:3, 407.
- Kajiwara, S., 1992. Mater. Trans., JIM, 33 No:11,1027.
- Kakeshita T., Kriowa K., Shimizu K., Ikeda T., Yamagishi A. And Date M., 1993. Effect of Magnetic Fields on Athermal and Isothermal Martensitic Transformations in Fe-Ni-Mn alloys. Mater. Trans. JIM, 34, 415.
- Kakeshita, T., Sato Y., Saburi, T., Sihimizu, K., Matsuoka, Y., and Kinda, K., 1999. Materials Transactions, JIM, 40, 2, 100-106.

- Kakeshite, T., Sato, Y., Sabura, T., Matsuako Y. and Kinda, K., 1999. Mat. Trans. JIM 34 (5), 415.
- Kaufman and Chen, M., 1968. Progress Metal Physics, 7, 165.
- Kaufman L. and Cohen M., 1958. Thermodynamics and kinetics of martensitic transformations, in Progress in Metal Physics, Vol. 7, B. Chalmers and R. King, eds., Pergamon Press, New York, pp. 165–246.
- Kaufman L. and Cohen, M., 1956. Ins. Metals Monograph, No 18, p. 187 London.
- Kelly P. M. and Nutting, J., 1960. High-Strength iron alloys, Proceeding of the Royal Society of London. Series A., 259, 45-58.
- Kelly, P. M., B. A., Ph. D., Nutting, J., M. A., B. Sc., Ph. D., Iron, J., 1961. Stell Inst. 197, 199-211.
- Kırım, S., 1979. Faraday Sistemi ve Manyetik Alınganlık Ölçümü, Atatürk Üniversitesi Yayınları, Erzurum.
- Kittel, C., Çeviri: Karaoğlu, B., 1996. Katıhal Fiziğine Giriş, Bilgitek Yayıncılık, İstanbul.
- Klostermann, J. A. and Burgers, W. G., 1964. Acta Metall., 12, 355.
- Kostorz (Ed), G., 2001. Phase Transformations in Materials, Wiley-Uch, New York.
- Küçük, Ş., 2004. Fe-%15Mn-%2Cr Alaşımında Gözlenen Difüzyonsuz Faz Dönüşümleri Üzerinde Çalışmalar, Yüksek Lisans Tezi, Kırıkkale Üniversitesi Fen Bilimleri Enstitüsü, Kırıkkale.
- Lucis, M.J., Prost, T.E., Jiang, X., Wang, M., Shield, J.E. 2014. Phase transitions in mechanically milled Mn-Al-C Permanent magnets. Metals 4, 130.
- Maji, B. C., Krishnan, M., Raman Rao, V. V., 2003. Metal. Mater. Trans. A, 34A, 1029.
- Maki, T., 1990. Microstructure and mechanical behavior of ferrous martensite. Mater. Sci. Forum, 56-58, 157.
- Maki, T., Shimooka, S. and Tamura, I., 1971. Metall. Trans. 2, 2944.

- Maki, T., Shimooka, S., Umemoto M. and Tamura, I., 1972. The morphology of strain-induced martensite and thermally transformed martensite in Fe-Ni-C alloys. *Trans. JIM* 13, 400-407.
- Malinen, P. A. and Sadovskij, V. D., 1969. *Fiz. Met. Metalloved.*, 28, 1012.
- Marder, A. R. and Krauss, G., 1967. The Morphology of Martensite in Iron-Carbon Alloys. *ASM Trans. Quart.*, 62, 651-660.
- Marinelli P., Fernandez A., Sade M., 2004. The Enthalpy Change of Hcp to Fcc Transformation in Fe-Mn-Co Alloys: Composition Dependence and Thermal Cycling Effects, *Materials Science and Engineering A* 373, 1-9.
- Martinez, J., Cotes, S.M., Cabrera, A.F., Desimoni, J., Fernandez Guillermet, 2005. On the relative fraction of  $\epsilon$  martensite in  $\gamma$ -Fe-Mn alloys. *Materials Science and Engineering: A* 408, 26-32.
- Nagy, E., Mertinger, V., Tranta F. and Solyom, J., 2004. Deformation induced martensitic transformation in stainless steels. *Material Sci. And Eng: A*, 378, 308-313.
- Nishiyama Z., 1934. Mechanism of transformation from face-centred to body-centred cubic lattice. *Sci Rep Tohoku Imp Univ.* 23, 637–664.
- Nishiyama, Z., 1978. *Martensitic Transformation*, Academic Press, London, 304.
- Ocak, H. Y., 1999. Doktora Tezi, Gazi Üniversitesi Fen Bilimleri Enstitüsü, Ankara.
- Ocak, S., 2003. Fe-Mn-Cr Alaşımında Austenite-Bainite-Martensite Faz Dönüşümle rinin İncelenmesi, Yüksek Lisans Tezi, Kırıkkale Üniversitesi Fen Bilimleri Enstitüsü, Kırıkkale.
- Onaran, K., 2006. *Malzeme Bilimi*. Bilim Teknik Yayınevi, İstanbul, s. 47.
- Osmond, F., 1895. *Bull de la Soc. D'Encouragement pour L'Industri National*, vol. 10, 480.
- Otte, H. M., 1957. *Acta Met*, 5, 614.
- Özkan, O. T. ve diğerleri, 1985. "Malzeme biliminde geçirim elektron mikroskopu uygulamasına giriş", TÜBİTAK-M.A.M.
- Özkan, O. T. ve diğerleri, 1986. "Malzeme biliminde geçirim elektron mikroskopu uygulamasına giriş", TÜBİTAK-M.A.M.

- Petty (Ed), E. R., 1970. Martensite, Fundamentals and Technology, Longman Group Limited, London.
- Porter D.A., Easterling K. E., 1981. Phase Transformations in Metals and Alloys, Chapman and Hall, London, 393.
- Raghavan, V. and Cohen, M., 1972. Recent Developments in Metallurgical Science and Technology (Physical Metallurgy), Indian Institute of Metals, New Delhi p.255.
- Rao C. N. R., Rao K. J., 1982. Phase Transition in Solids, Mc Graw-Hill Inc., New York.
- Read R.E., 1970. Physical Metallurgy Principles, International Student Edition, New York, USA.
- Reed, R. P., 1967. The Plate-Like Martensite Transformation in Fe- Ni Alloys. Acta Metaterialia, (15), 1287-1296.
- Sarı U., Kırındı T., Yüksel M. and Ağan S., 2009. Influence of Mo and Co on the magnetic properties and martensitic transformation characteristics of a Fe-Mn alloy Journal of Alloys and Compounds, (476) 160-163.
- Savaşkan, T., 1977. Malzeme Bilgisi ve Muayenesi, Birsen Yayınları, İstanbul, 175.
- Savaşkan, T., 1999. Malzeme Bilgisi ve Muayenesi, Derya Kitabevi, Trabzon, 212.
- Schino, A. Di; Salvatori, I., Kenny, J. M., 2002. Effects of martensite formation and austenite reversion on grain refining of AISI 304 stainless steel, Journal of Materials Science, (37), 4561-4565.
- Shimizu, K. and Kakeshita, T., 1989. Effect of Magnetic Fields on Martensitic Transformations in Ferrous Alloys and Steels, ISIJ Int., 29; 97–116.
- Sinha, A. K., 2003. Physical Metallurgy Handbook, (The McGraw-Hill Companies) on Amazon.
- Speich, G. R., 1969. Trans. TMS-AIME, vol. 245, 2553-2565.
- Sun, E. X., Yang, D. Z., Hsu, T. Y., Yang, F. M., Zhao, Y. W., 1989. Pulsed Magnetic Field-induced Martensitic Transformation in an Fe-21Ni-4Mn Alloy. ISIJ Int., (29), No:2, 154-157.

- Takaki, S., Nakatsu, H., Tokunaga, Y., 1999. Effects of Austenite Grain Size on  $\varepsilon$  Martensitic Transformation in Fe-15mass%Mn Alloy. Materials Transactions, JIM, (34), No:6, 489-495.
- Takeuchi, S., Honma T. and Suzuki, H., 1957. Studies on Martensite Transformation in Iron-Nickel Alloys. J. Jpn. Inst. Met. (21), 51.
- Topbaş, M. A., 1993. Isıl İşlemler, Prestij Basın Yayın ve Hizmetleri, İstanbul 45-49.
- Tsai, M. C., Chiou, C. S., Dn, J. S., Tang, J. R., 2002. Materials Science and Engineering, A332, 1-10.
- Vanpaemel, J., 1982. International Conference on Martensitic Transformations, (ICOMAT-82), J. Phys. Colloques (43), 847-854.
- Voronchikhin, L. D. and Fakidau, I. G., 1967. Fiz. Met. Metalloved., 24, 459.
- Wada, T., Tagoyawa, T., Taya M., 2003. Scripta Mater., 48, 207.
- Wakasa, K. ve Wayman, C. M., 1981. Crystallography and morphology of ferrous lath martensite, Metallography, (14), 49-60.
- Wassermann, G., 1935. Mitt. Kaiser Wilhelm Inst. Eisenforsch, (17), 149-155.
- Wayman C. M., 1964. Introduction to the Crystallography of Martensitic Transformations, The Macmillan Company, New York.
- Wayman, C. M., 1990. The Growth of Martensite Since E. C. Bain (1924)-Some Milestones, Material Science Forum, (56-58), 1-32.
- Wayman, C.M., 1980. Some Applications of shape-memory Alloys, JOM: the Journal of the Minerals, Metals and Material Society, 32(2), 129-137.
- Yaşar E., 2005. Fe-%30Ni-%XMo Alaşımlarında Atermal ve İzotermal Martensitik Faz Dönüşümlerinin Fiziksel Özelliklerinin İncelenmesi, Doktora Tezi, Kırıkkale Üniversitesi Fen Bilimleri Enstitüsü, Kırıkkale.

## ÖZGEÇMİŞ

### **Kişisel Bilgiler**

Soyadı, Adı	: Serap GÜL
Uyruğu	: T.C.
Doğum tarihi ve yeri	: 24.07.1977 – Nevşehir/Avanos
Medeni hali	: Evli
Telefon	: 0 (505) 5223017
e-Posta	: serapsen1977@gmail.com

### **Eğitim**

<b>Derece tarihi</b>	<b>Eğitim Birimi</b>	<b>Mezuniyet</b>
Lisans	Cumhuriyet Üniversitesi/ Fen-Ed. Fizik bölüm	1999
Lise	Fevzi Çakmak Lisesi	1994

### **İş Deneyimi**

<b>Yıl</b>	<b>Yer</b>	<b>Görev</b>
07/10/1999	Millî Eğitim Bakanlığı	Fizik Öğretmeni

### **Yabancı Dil**

### **Yayınlar**

Güler, M., Aldırmaz, E., Gül, S., Koyuncuoglu, E., Kulucan, F.F., Güngüneş, H., Güler E., 2018. The effect of alloying element Zn on magnetic properties of martensite phase in Fe Ni Mn alloy. Journal of Molecular Structure, 1174, 103-106., Doi:10.1016/j.molstruc.

Güler, M., Aldırmaz, E., Gül, S., Gül, İ., Güler E., 2018. Structural and Magnetic Properties of Thermal and Deformation Induced Martensite in an Fe-27%Ni-

- 4%Mn-1%Zn Alloy. *Journal of Superconductivity and Novel Magnetism*, 31(2), 381-386.
- Gül, S. 2017. Magnetic properties of thermally induced martensite in a Fe-27%Ni-4%Mn-1%Zn (wt.%) alloy. *Turcmos- (Uluslararası Fizik Kongresi Sunum)*, 26-29. August 2017. Muğla Sıtkı Koçman University, Bodrum.
- Gül, S., Yılmaz, H. S., Güler, M., Aldırmaz, E., Güler, E., 2017. Investigation by Mössbauer spectroscopy of magnetic properties in Fe-27%Ni-4%Mn Alloy. *Turcmos- (Uluslararası Fizik Kongresi Poster)*, 26-29. August 2017. Muğla Sıtkı Koçman University, Bodrum.